ФЕДЕРАЛЬНОЕ ГОСУДАРСТВЕННОЕ БЮДЖЕТНОЕ УЧРЕЖДЕНИЕ НАУКИ ИНСТИТУТ ЭЛЕМЕНТООРГАНИЧЕСКИХ СОЕДИНЕНИЙ им. А. Н. НЕСМЕЯНОВА РОССИЙСКОЙ АКАДЕМИИ НАУК Лаборатория Металлоорганических соединений

ДОКЛАД ОБ ОСНОВНЫХ РЕЗУЛЬТАТАХ НАУЧНО-ИССЛЕДОВАТЕЛЬСКОЙ РАБОТЫ:

«Полусэндвичевые комплексы родия с иминофосфонамидными лигандами: синтез, физико-химические свойства и применение в катализе»

1.4.8 – Химия элементоорганических соединений

Автор:

Некрасов Роман Игоревич

Научный руководитель:

к.х.н., с.н.с. Кальсин Александр Михайлович

Пентаметилциклопентадиенильные комплексы родия зарекомендовали себя как активные катализаторы различных процессов. Из огромного количества известных полусэндвичевых комплексов родия лишь небольшое количество комплексов содержат в своем составе κ^2 -N,N-моноанионный лиганд (Рисунок 1). Среди них основную долю занимают амин-амидные комплексы, которые нашли широкое применение как катализаторы энантиоселективного восстановления кетонов во вторичные спирты, известные как катализаторы Икария [1]. Родственные комплексы с меньшим, четырехчленным, металлациклом еще более редки [2–8].

Суммарно 9 структур

Рисунок 1. Разнообразие полусэндвичевых комплексов родия

Аминопиридинатные и гуанидинатные лиганды можно отнести к гетероатомным аналогам аллильного лиганда. Среди таких лигандов наиболее известны амидинатный (NCN), триазенидный (NNN) и иминофосфонамидный (NPN) (Рисунок 2). Ранее считалось, что они имеют одинаковое электронное строение, однако в нашей лаборатории было установлено, что NPN-лиганд имеет цвиттер-ионную структуру [9].

Рисунок 2. Гетероатомные аналоги аллильного лиганда

Такое строение позволяет эффективно стабилизировать электронодефицитные конфигурации атомов металлов в плоском металлацикле в отличие от амидинатного лиганда [10] (Рисунок 3).

NCN-лиганд **NPN-**лиганд

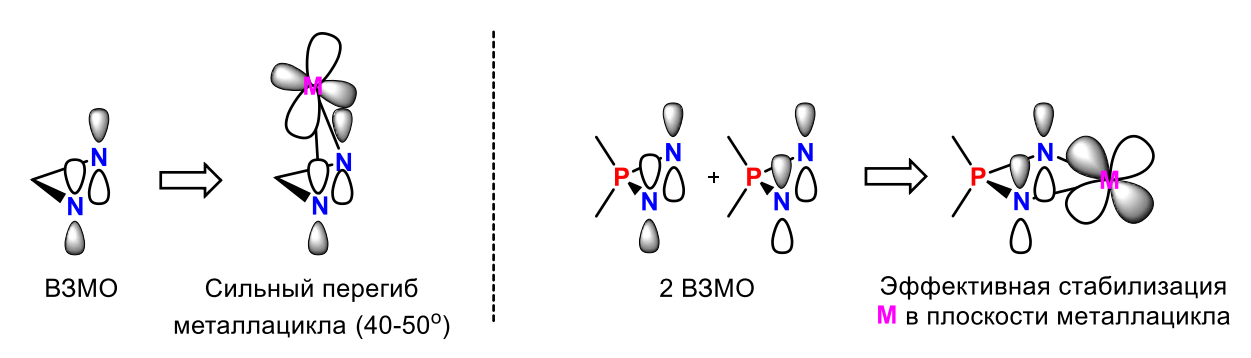


Рисунок 3. Стабилизация электронодефицитных конфигураций атомов металла амидинатным лигандом (слева) и иминофосфонамидным лигандом (справа)

Химия NPN-комплексов в основном изучена для ранних переходных металлов благодаря их возможности эффективно катализировать олиго-, полимеризацию и циклопропанирование алкенов [10]. В нашей лаборатории проводятся систематические исследования NPN-комплексов металлов платиновой группы (Рисунок 4). В литературе известны NPN-комплексы рутения [11], платины и палладия [9], но об NPN-комплексах родия информации нет. Принимая во внимание широкое использование полусэндвичевых комплексов родия в каталитических процессах и способности NPN-лигандов к стабилизации электронодефицитных состояний атома металла, ожидается, что такие комплексы смогут эффективно катализировать процессы переноса атомов водорода — гидрирования или дегидрирования субстратов.

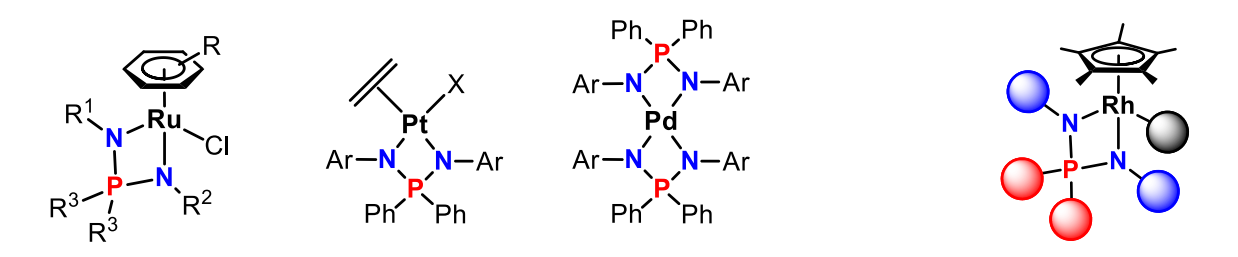


Рисунок 4. Известные представители NPN-комплексов металлов платиновой группы (слева) и общее строение полусэндвичевых NPN-комплексов родия (справа)

Таким образом, целью настоящего исследования были разработка методов синтеза неизвестных ранее полусэндвичевых комплексов родия с иминофосфонамидными лигандами, исследование их реакционной способности, а также каталитических свойств в процессах гидрирования карбонильных соединений и дегидрирования амин-боранов. В качестве NPN-лигандов были выбраны три иминофосфонамида: два симметричных (A, C) и один несимметричный (B) с толильным и метильным заместителями при атомах азота (Рисунок 5).

Рисунок 5. Использованные в данной работе иминофосфонамидные лиганды

Предшественниками NPN-лиганда являются диаминофосфониевые соли и иминофосфонамины. Они синтезируются из дифенилхлорфосфина последовательным бромированием и аминированием атома фосфора. Такой подход универсален и позволяет получить как симметричные, так и несимметричные иминофосфонамины (Схема 1).

$$\begin{array}{c} Ph \\ Ph \\ Ph \\ Ph \\ \end{array} \begin{array}{c} 1) \ Br_{2}, \ CH_{2}CI_{2} \\ 2) \ \begin{array}{c} -NH_{2} \ (2 \ eq) \end{array} \end{array} \begin{array}{c} Ph \\ Ph \\ Ph \\ \end{array} \begin{array}{c} -NH_{2} \ (2 \ eq) \end{array} \begin{array}{c} Ph \\ Ph \\ HN \\ \end{array} \begin{array}{c} -NH_{2} \ (2 \ eq) \end{array} \begin{array}{c} Ph \\ Ph \\ HN \\ \end{array} \begin{array}{c} B^{-} \\ \end{array} \begin{array}{c} Ph \\ N \\ \end{array} \begin{array}{c} -NH_{2} \ (2 \ eq) \end{array} \begin{array}{c} Ph \\ N \\ \end{array} \begin{array}{c} -NH_{2} \ (2 \ eq) \end{array} \begin{array}{c} Ph \\ N \\ \end{array} \begin{array}{c} -NH_{2} \ (2 \ eq) \end{array} \begin{array}{c} Ph \\ N \\ \end{array} \begin{array}{c} -NH_{2} \ (2 \ eq) \end{array} \begin{array}{c} Ph \\ N \\ \end{array} \begin{array}{c} -NH_{2} \ (2 \ eq) \end{array} \begin{array}{c} Ph \\ N \\ \end{array} \begin{array}{c} -NH_{2} \ (2 \ eq) \end{array} \begin{array}{c} Ph \\ N \\ \end{array} \begin{array}{c} -NH_{2} \ (2 \ eq) \end{array} \begin{array}{c} Ph \\ N \\ \end{array} \begin{array}{c} -NH_{2} \ (2 \ eq) \end{array} \begin{array}{c} -NH_{2} \ (2 \ eq) \end{array} \begin{array}{c} Ph \\ N \\ \end{array} \begin{array}{c} -NH_{2} \ (2 \ eq) \end{array} \begin{array}{c} Ph \\ N \\ \end{array} \begin{array}{c} -NH_{2} \ (2 \ eq) \end{array} \begin{array}{c} -NH_{2} \ (2$$

Схема 1. Общая схема синтеза предшественников NPN-лиганда

Неизвестные ранее 18 торидные NPN-комплексы родия были получены реакцией димерного родиевого комплекса с иминофосфонамидом натрия, генерируемом *in situ* (Схема 2). Комплексы получаются с хорошим выходом, за исключением неустойчивого диметильного комплекса 1c, который удалось зафиксировать только методом ЯМР. Строение двух остальных комплексов было установлено методом РСА (Рисунок 6).

Схема 2. Общая схема синтеза 18 е хлоридных NPN-комплексов родия(III)

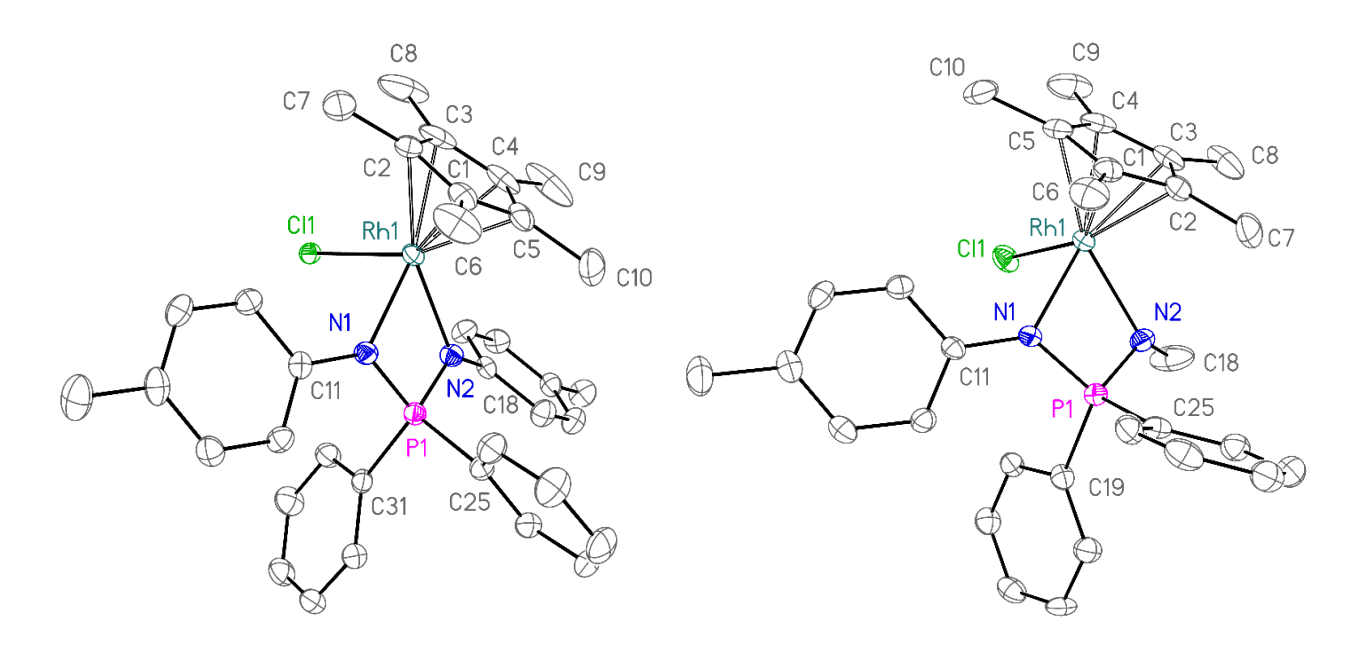


Рисунок 6. Молекулярные структуры комплексов 1а (слева) и 1b (справа)

Новые 16 ё катионные комплексы легко образуются в результате метатезисного обмена хлоридного лиганда на некоординирующий анион (Схема 3).

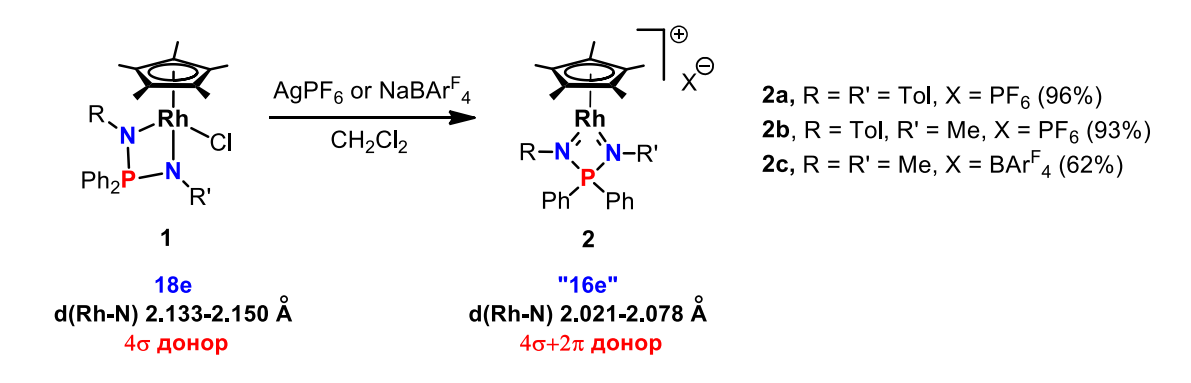


Схема 3. Общая схема синтеза катионных NPN-комплексов родия(III)

Следует отметить, что все три комплекса, включая диметильный, очень устойчивы. Их строение было также установлено методом РСА (Рисунок 7). В них наблюдается значительное укорочение связи Rh–N по сравнению с хлоридными комплексами, которое обусловлено дополнительным π -донированием с атомов азота на атом металла (Рисунок 8).

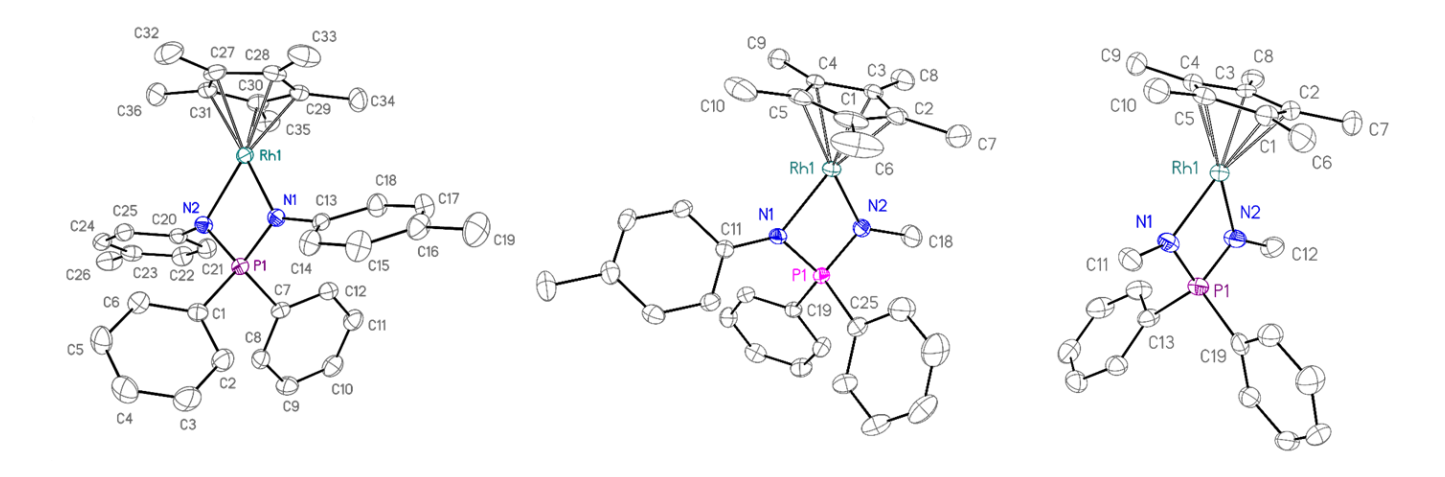


Рисунок 7. Молекулярные структуры комплексов 2а (слева), 2b (по центру), 2c (справа)

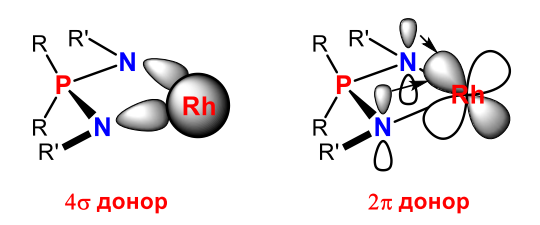


Рисунок 8. Возможные варианты перекрывания орбиталей NPN-лиганда и орбиталей родия в случае 18ē и «16ē» комплексов

Катионные комплексы являются формально электронно ненасыщенными, поэтому они могут координировать внешние лиганды, например, пиридин. Методом УФ-видимой спектроскопии было найдено, что координация пиридина является слабоэкзотермическим процессом ($\Delta_r H_{298} = -10.4 \pm 0.3$ ккал/моль, $\Delta_r S_{298} = -25 \pm 2$ кал/(моль·К)), и направление реакции определяется в первую очередь энтропией. Поэтому при комнатной температуре реакция практически не идет, но при низких температурах нацело образуется пиридиновый аддукт (Схема 4, Рисунок 9). Таким образом, неподеленные пары атомов азота NPN-лиганда конкурируют со внешним σ -донорным пиридином за предоставление электронной плотности атому металла.

$$p$$
-Tol-N N- p -Tol Ph Ph p -Tol p

Схема 4. Схема взаимодействия комплекса 2а с пиридином

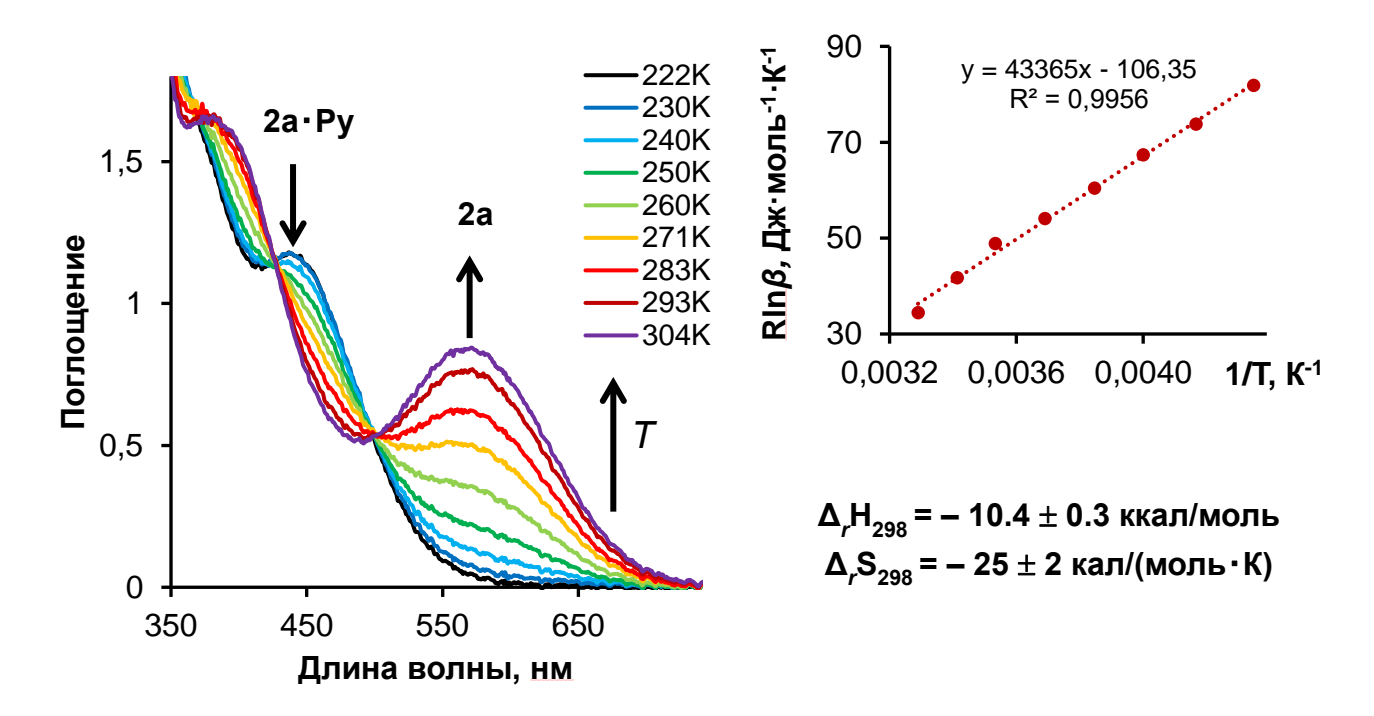


Рисунок 9. Спектр УФ-видимой области для смеси 1.6 мМ комплекса **2a** и 3.2 мМ пиридина (**2a**:Py = 1:2) в диапазоне температур 222-304K (слева) и зависимость Rln β от 1/T для реакции координации пиридина к **2a**.

Монооксид углерода, как лиганд с большей способностью к обратному π -донированию, при координации с комплексами **2** дает карбонил-карбамоильные комплексы **3**, являющиеся продуктами присоединения двух молекул СО, которые были охарактеризованы, в том числе, рентгеноструктурно (Рисунок 10).

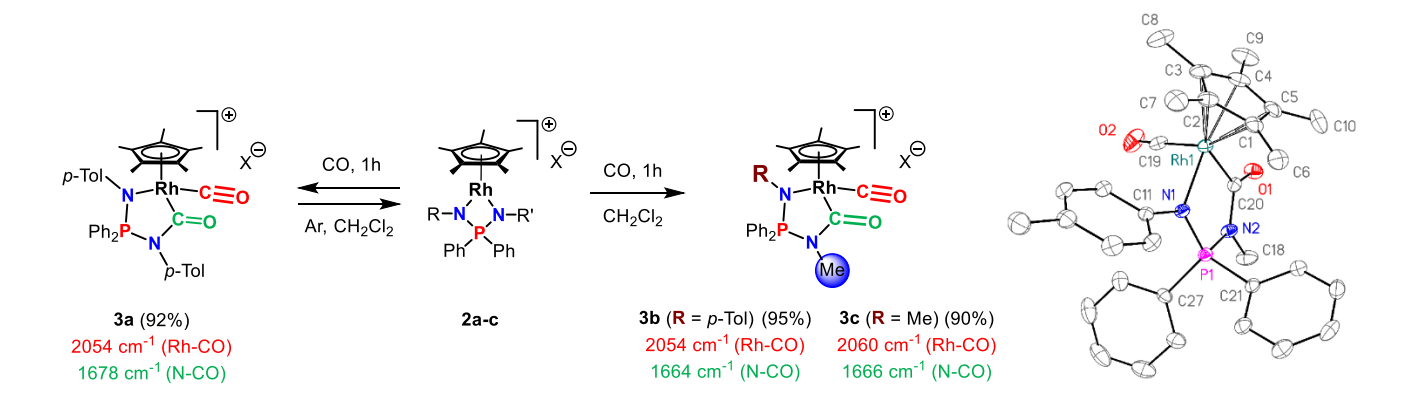


Рисунок 10. Схема взаимодействия комплексов **2** с CO (слева) и молекулярная структура карбонилкарбамоильного комплекса **3b** (справа)

Единственный известный в литературе карбонил-карбамоильный комплекс родия (Схема 5), получающийся из аминопиридинатного 16 в комплекса, образуется мгновенно и необратимо [8]. В нашем случае реакция происходит медленно, а в случае комплекса с дитолильным лигандом она обратима.

Схема 5. Схема взаимодействия комплекса $[(\eta^5 - C_5 Me_5)Rh(ApCO)](BAr^F_4)$ с CO

Обратимое присоединение СО к дитолильному комплексу **2a** было исследовано постадийно (Схема 6).

Схема 6. Предполагаемый механизм взаимодействия комплекса 2а с СО

При низких температурах образуется исключительно терминальный монокарбонильный комплекс $2a \cdot CO$, который при отогревании раствора диспропорционирует в исходный комплекс 2a и карбонил-карбамоильный продукт 3a. Это заключение было сделано на основании кинетических данных, полученных методом ИК-спектроскопии (Рисунок 11). Промежуточно образующийся $16\bar{e}$ карбамоильный интермедиат $2a' \cdot CO$ зафиксировать не удается, но была получена оценка энергии активации внедрения CO по связи Rh-N ($\Delta G^{\neq}_{298} < 15.5$ ккал/моль) из скорости образования 3a при $-10^{\circ}C$.

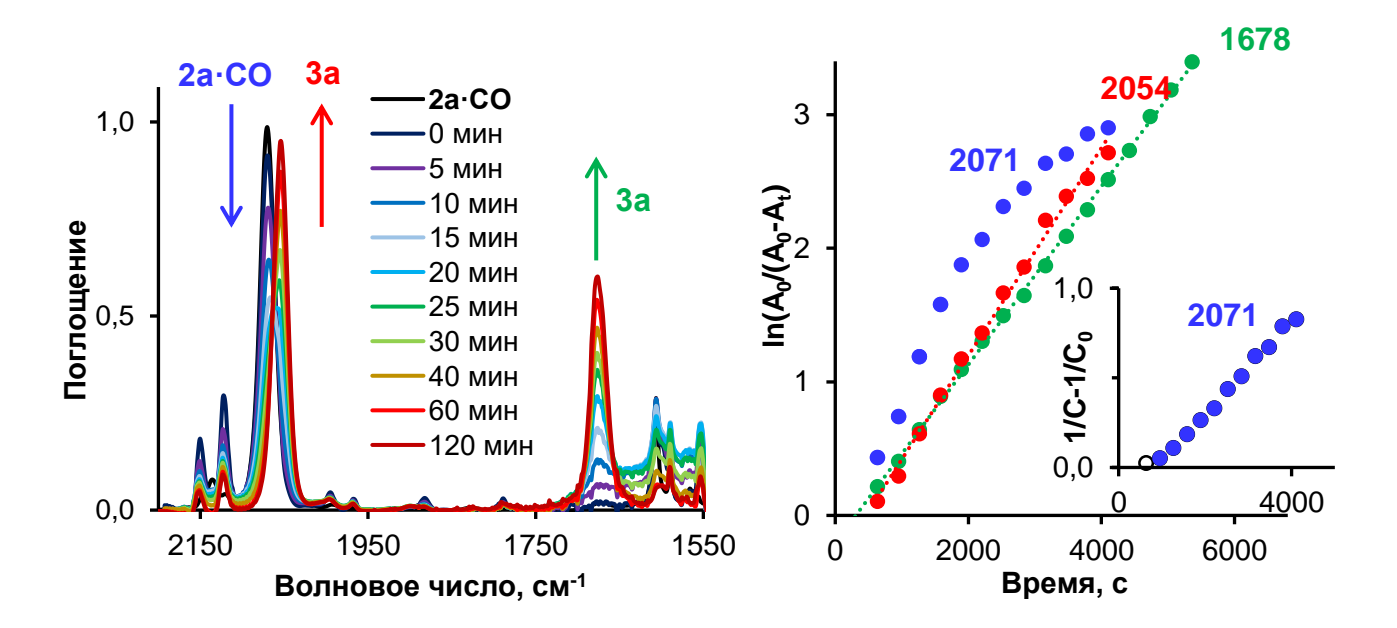


Рисунок 11. Мониторинг диспропорционирования 2a·CO (5.0 мМ в CH₂Cl₂) методом ИК-спектроскопии при -10°C (слева) и кинетические кривые первого порядка (или второго порядка – во вставке) для полос исходного комплекса 2a·CO (2071 см⁻¹) при его диспропорционировании и продукта 3a (1678 и 2054 см⁻¹). Во вставке дана кинетическая кривая второго порядка изменения интенсивности для полосы 2071 см⁻¹.

Устойчивый карбамоильный комплекс был получен при замене лабильного терминального СО на хлоридный лиганд (Рисунок 12). Его строение было установлено методом РСА. Высокая основность атомов азота NPN-лиганда обеспечивает стабильность карбамоильного цикла, и при обычных условиях выделения СО не происходит.

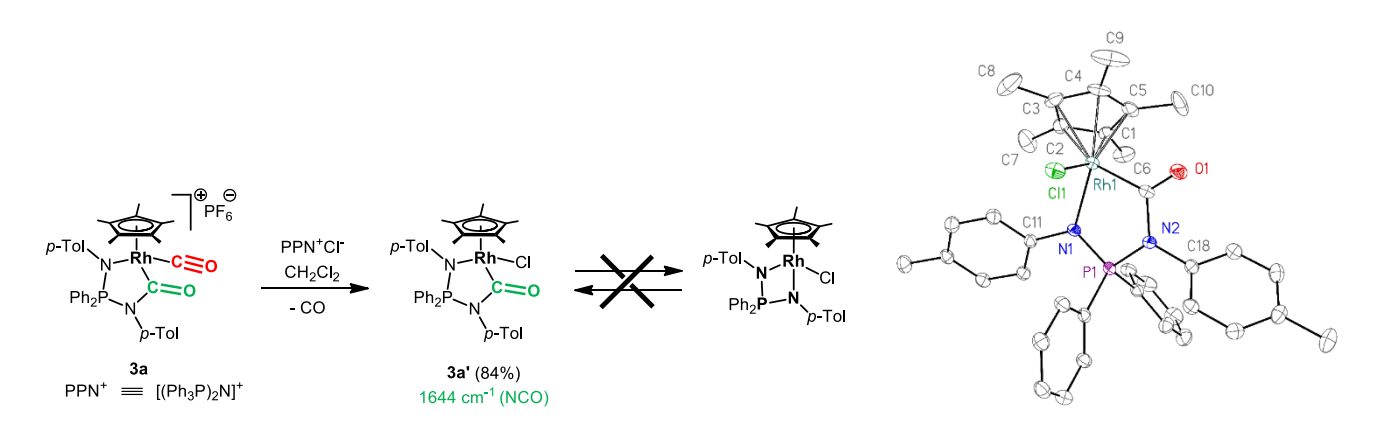


Рисунок 12. Схема получения устойчивого карбамоил-хлоридного комплекса родия **3a'** (слева) и его молекулярная структура (справа)

Лиганд Ср* в комплексах **1** реакционно способен. При действии на них основания количественно образуются η^4 -тетраметилфульвеновые NPN-комплексы родия(I), которые были охарактеризованы только спектрально методом ЯМР на ядрах 1 H, 31 P, 13 C (Рисунок 13).

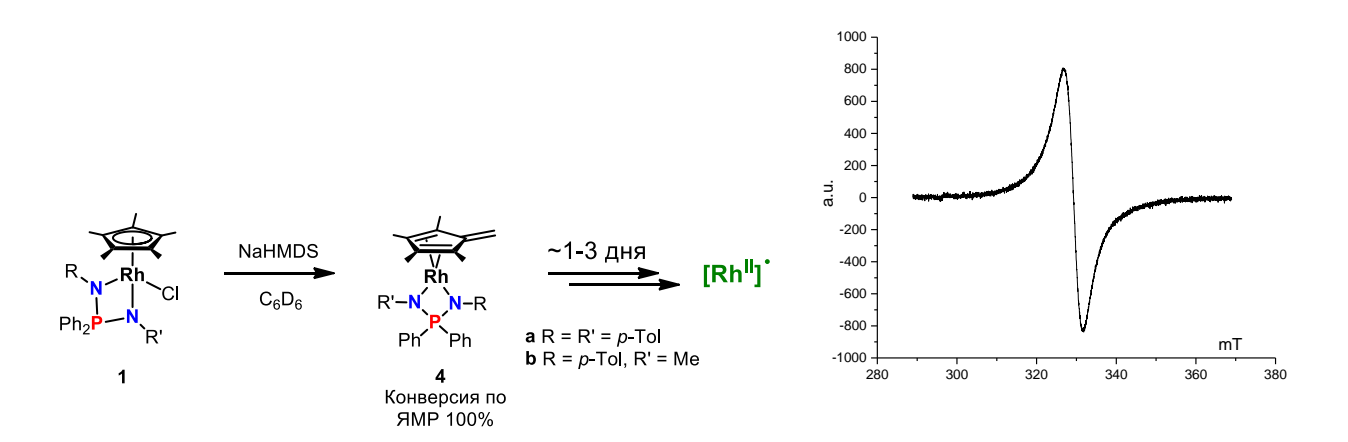


Рисунок 13. Схема генерирования фульвеновых комплексов **4** и их дальнейшая деградация (слева) и ЭПР-спектр комплекса **4a** через несколько дней после стояния в инертной атмосфере (справа)

Эти комплексы стабильны в инертной атмосфере в течение нескольких часов, постепенно превращаясь в парамагнитные соединения родия(II) (Рисунок 14). Следует отметить, что ранее в литературе образование нейтральных тетраметилфульвеновых комплексов родия при депротонировании пентаметилциклопентадиенильного лиганда предполагалось обычно косвенно при его функционализации [12], а единственным примером выделенного комплекса был катионный тетраметилфульвеновый комплекс с тремя фосфиновыми лигандами лигандами $[(\eta^4-C_5Me_4CH_2)Rh(PMe_3)_3]^+[13]$.

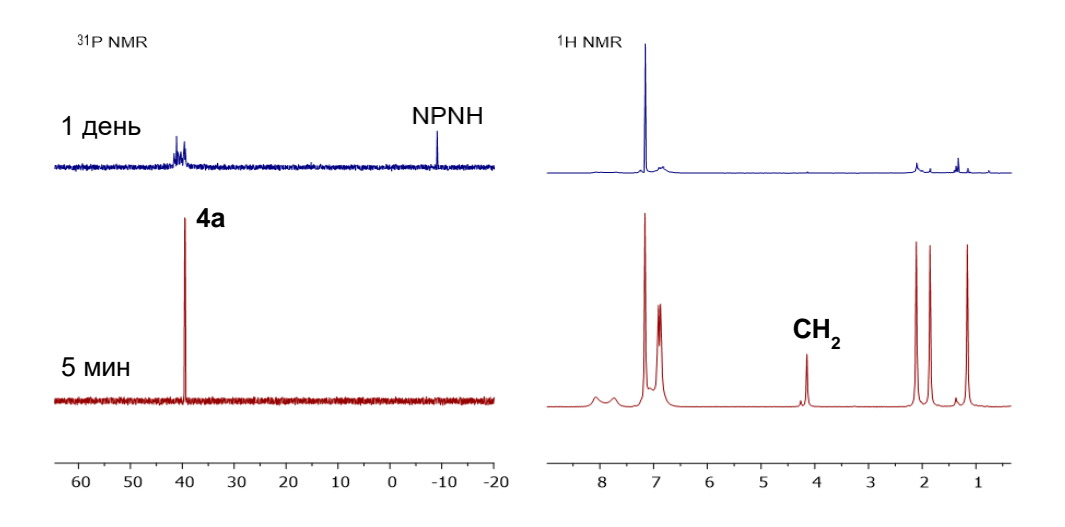


Рисунок 14. ¹Н и ³¹Р-ЯМР мониторинг поведения **4a** в C_6D_6 сразу после добавления NaHMDS (снизу) и через 3 дня (сверху)

Количественное генерирование фульвеновых NPN-комплексов родия впервые позволило нам показать возможность стехиометрического межмолекулярного металлоциклоприсоединения диенов и α,β-ненасыщенных кетонов с образованием продуктов 1,4- и 1,2-присоединения (Схема 7).

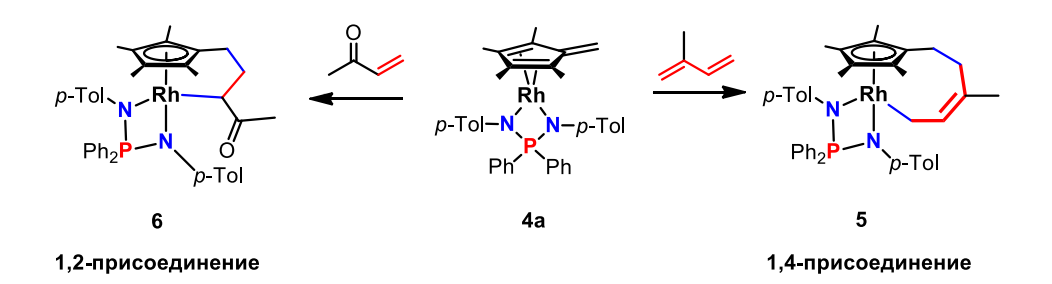


Схема 7. Схема взаимодействия фульвенового комплекса родия **4a** с метилвинилкетоном (слева) и с изопреном (справа)

Строение изопренового (**5**) и метилвинилкетонового (**6**) продуктов было установлено методом РСА (Рисунок 15).

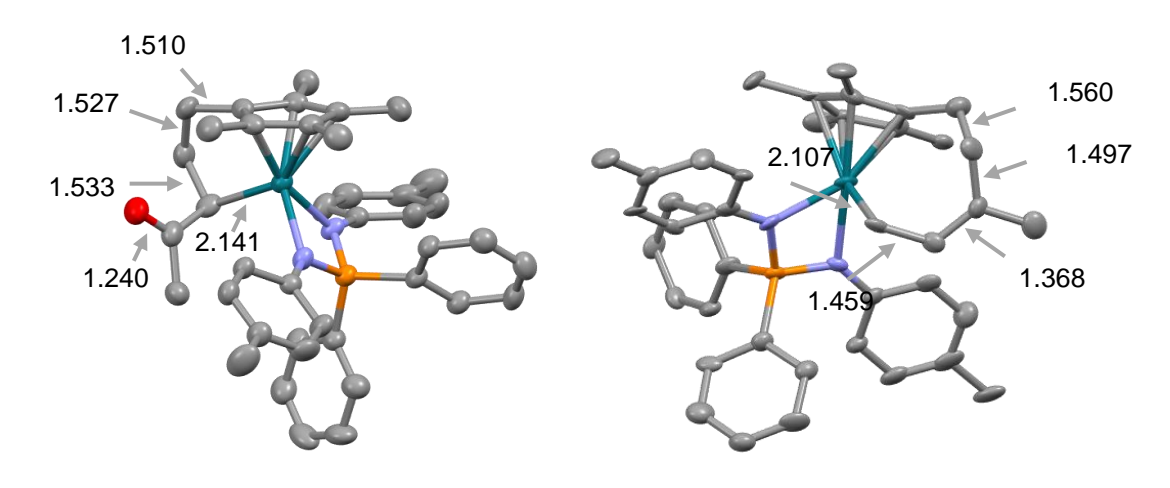


Рисунок 15. Молекулярная структура комплексов 6 (слева) и 5 (справа)

До этого в литературе было известно всего лишь несколько примеров внутримолекулярного замещения и присоединения по кратной С-С связи в уже координированном лиганде в условиях генерации родиевого фульвена (Схема 8) [14–17]. Поэтому найденная нами реакция может оказаться перспективным методом функционализации циклопентадиенильного лиганда.

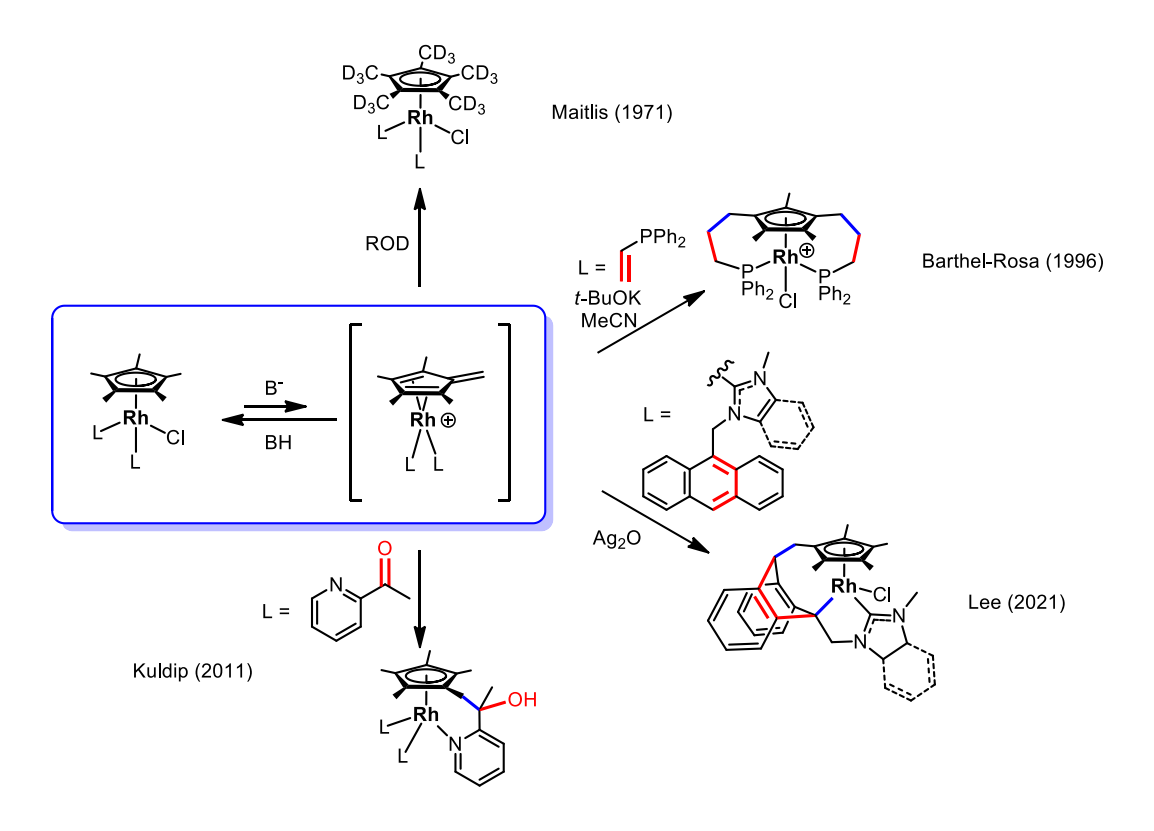


Схема 8. Литературные примеры функционализации Ср*-лиганда в комплексах родия, протекающие через промежуточное образование фульвеновых комплексов

Гидридные полусэндвичевые комплексы родия являются интермедиатами многих каталитических процессов [18], но их редко удается зафиксировать. Анионный NPN-лиганд способствует их стабилизации. При обработке хлоридного комплекса **1a** раствором NaBHEt₃ в толуоле при низкой температуре (-70°C) количественно образуется соответствующий гидрид **13a**, который был охарактеризован спектрально (Рисунок 16).

Рисунок 16. Схема взаимодействия хлоридных NPN-комплексов родия с NaBHEt₃ в толуоле (слева) и молекулярная структура образующегося η^4 -диенового комплекса **7a** (справа)

При комнатной температуре гидридный комплекс **13a** быстро изомеризуется в смесь э*кзо*- (**7a**) и э*ндо*-Н (**7'a**) изомеров η^4 -пентаметилциклопентадиеновых комплексов (Рисунок 17), один из которых был охарактеризован структурно. Важно отметить, что комплекс **7a** – это первый пример образования э*кзо*-Н изомера на родии, вероятно, образующийся в результате внешнесферной миграции атома водорода.

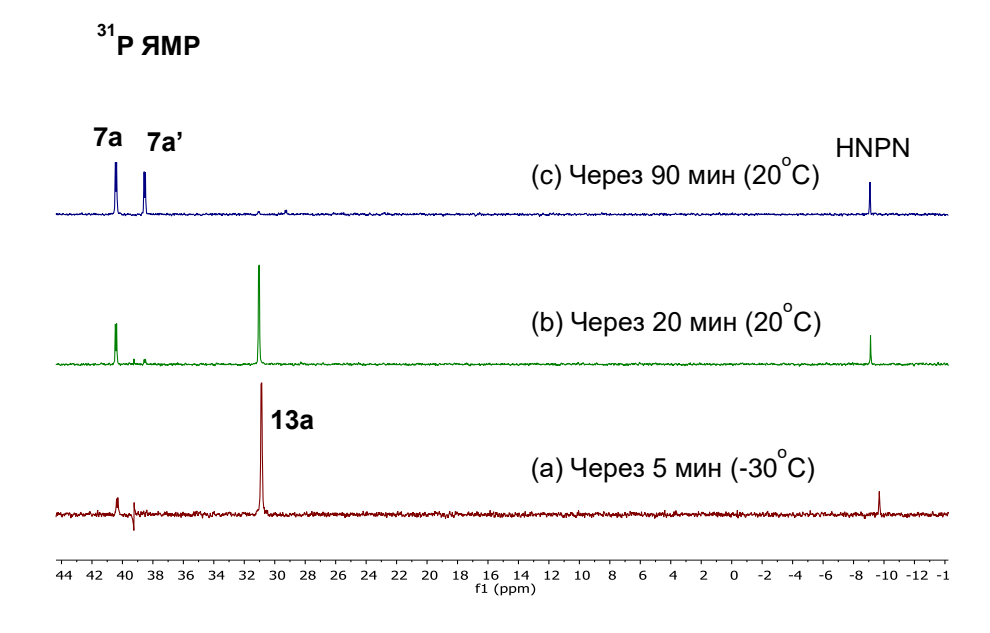


Рисунок 17. 31 Р-ЯМР мониторинг реакции **1a** с NaBHEt₃ в толуоле-d₈ при -70°C. a) через 15 мин после добавления NaHBEt₃ (-30°C) b) еще через 20 мин (20°C) с) через 90 мин (20°C).

Таким образом, химия полусэндвичевых NPN-комплексов родия определяется цвиттерионной структурой NPN-лиганда. С одной стороны, это приводит к повышенной стабильности формально 16 в комплексов, с которыми внешние лиганды дают очень лабильные комплексы. С другой стороны, это делает 18 в комплексы, наоборот, более реакционно способными за счет повышенной основности и нуклеофильности атомов азота. Анионная природа NPN-лиганда позволяет количественно генерировать неустойчивые гидридные и фульвеновые комплексы родия и охарактеризовать их спектрально. Впервые показано, что фульвеновые комплексы способны участвовать в межмолекулярном металлоциклоприсоединении диенов и α,βненасыщенных кетонов, приводящему к функционализированным Ср* лигандам (Схема 9).

Схема 9. Общая схема реакционной способности изученных NPN-комплексов родия

Структурная близость и изолобальность с катализаторами Нойори-Икария позволяет предположить каталитическую активность NPN-комплексов родия **1** и **2** в трансферном гидрировании кетонов изопропанолом (Схема 10).

Схема 10. Общая схема реакции восстановления карбонильных соединений изопропанолом, катализируемой полусэндвичевыми NPN-комплексами родия **1** и **2**

Однако, важно заметить, что активной частицей, взаимодействующей с молекулой изопропанола в катализаторах Нойори-Икария является 16 комплекс [1], образующийся из хлоридного комплекса при действии основания. В то же время, аналогичный NPN-комплекс образуется легко при диссоциации связи Rh—Cl, и в основании необходимости нет (Схема 11). Эта каталитическая реакция была подробно изучена на двух модельных субстратах (ацетофенон и циклогексанон) для комплексов с дитолильным лигандом 1а и 2а.

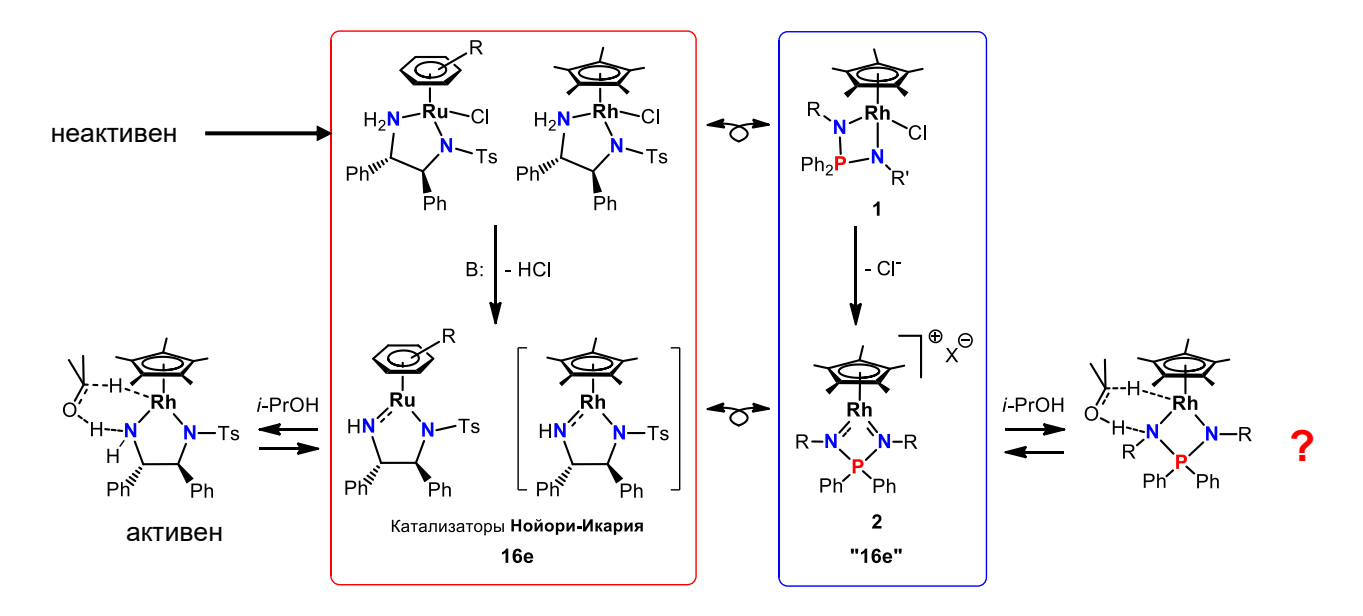


Схема 11. Изолобальные аналогии между (пред)катализаторами Нойори-Икария и NPN-комплексами родия

Неожиданно оказалось, что в гидрировании ацетофенона наивысшую активность проявляет 18 тогра как катионный комплекс 2а на порядок менее активен. При этом добавление основания деактивирует катализатор из-за образования неактивного фульвенового комплекса 4а. Интересно, что добавление слабокоординирующих лигандов к 16 то комплексу незначительно влияет на его активность, а сильно-связывающие Вг и С1 анионы значительно увеличивают активность, очевидно, давая стабильные 18 то галогенидные комплексы (Рисунок 18).

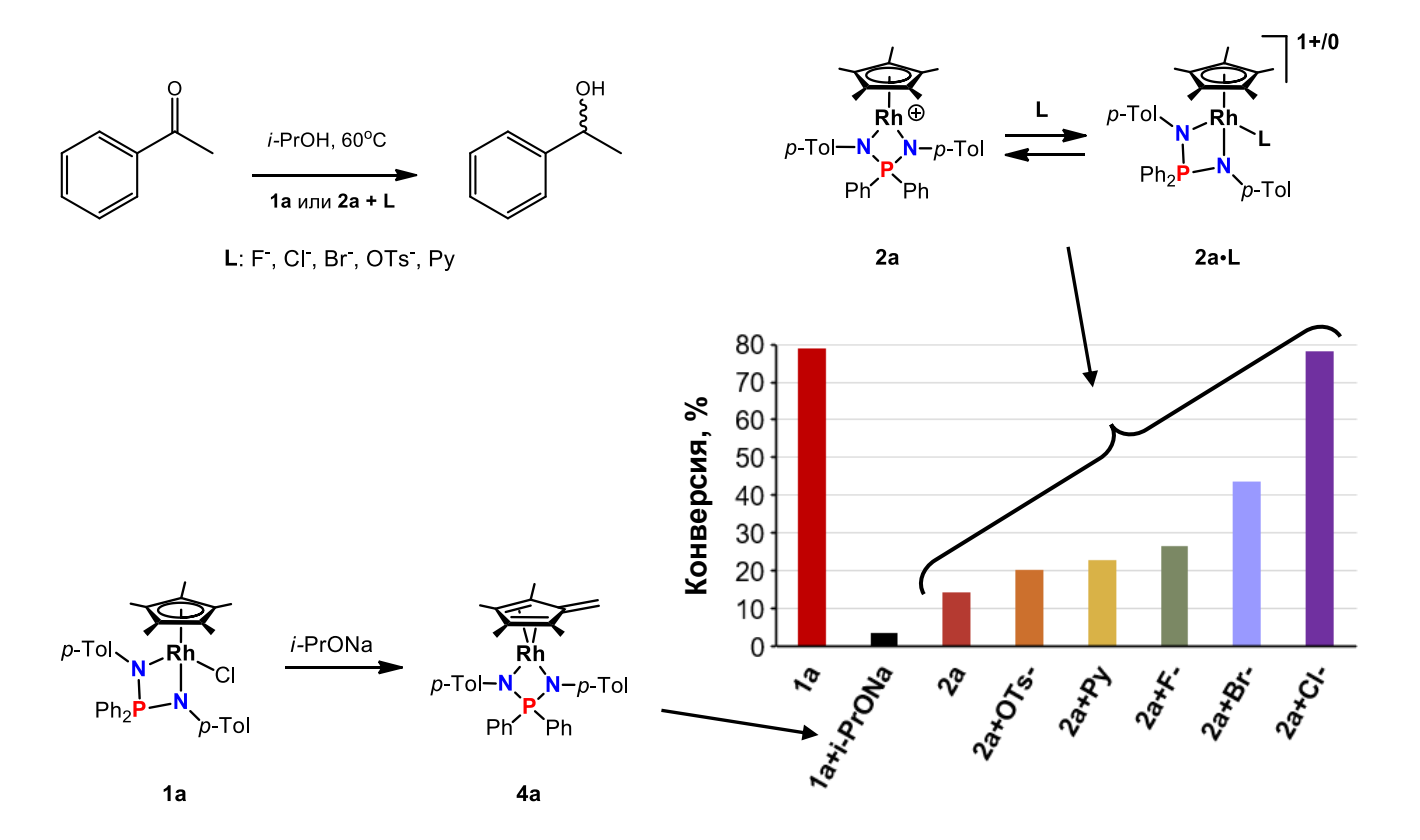


Рисунок 18. Сравнение каталитической активности систем на основе катионного NPN-комплекса **2** в присутствии различных добавок при восстановлении ацетофенона изопропанолом. Конверсия измерена через 3 ч.

Условия:
$$60^{\circ}$$
C, [Acp] = 195 мM , [Rh] = 0.7 мM

Поскольку хлорид-ион показал наибольший эффект на активность катиона 2a, была исследована кинетика процесса от концентрации Cl^- и полярности раствора (Схема 12).

Схема 12. Схема взаимодействия катиона 2a с хлорид-анионом из (Ph₃P)₂N⁺Cl⁻ (PPNCl) в условиях катализа

Даже небольшие добавки СІ⁻ приводят к резкому повышению активности катионного комплекса, давая максимальную активность при добавлении 1 эквивалента СІ⁻. Но избыток СІ⁻ приводит к замедлению гидрирования ацетофенона, так же, как и значительное снижение полярности раствора (Рисунок 19). Таким образом, требуется необычное сочетание условий для наиболее эффективного катализа — максимальное связывание катиона 2 хлорид-ионом и одновременно возможность его диссоциации.

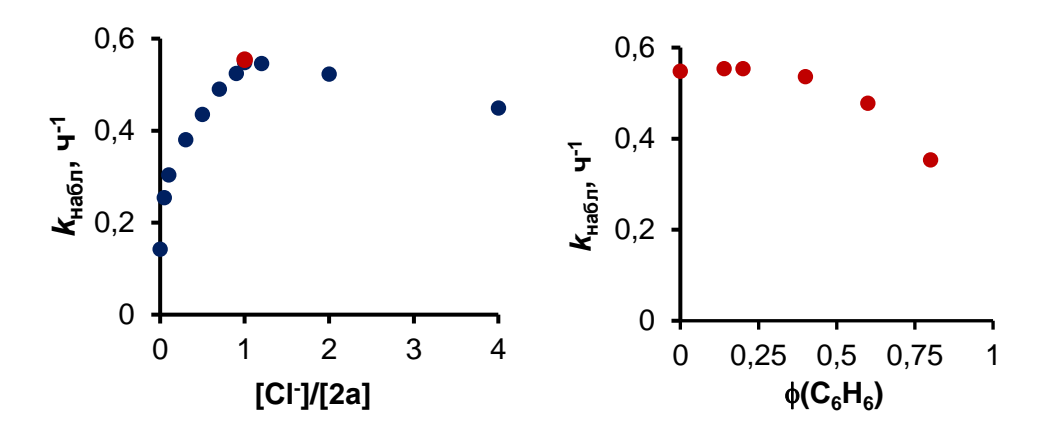


Рисунок 19. Зависимость константы первого порядка $k_{\text{набл}}$ реакции восстановления ацетофенона от соотношения [PPNCI]:[2a] (синий), для сравнения дано значения константы скорости для 1a (красный) (слева) и объемной доли ф добавленного бензола (справа). Условия реакции: T = 60°C, ацетофенон (117 мкл, 1 ммоль), 5 мл изопропанола. [Acp] = 0.195 M, [Rh] = 0.7 мМ, [2a] = 0.7 мМ.

Изучение кинетики восстановления ацетофенона при разных концентрациях катализатора показало, что реакция имеет первый порядок по субстрату, и очень низкий порядок 0.3 по катализатору (Рисунок 20). Это свидетельствует либо о сложном механизме протекания реакции, либо о побочных процессах, в которых участвует катализатор, например, разложение.

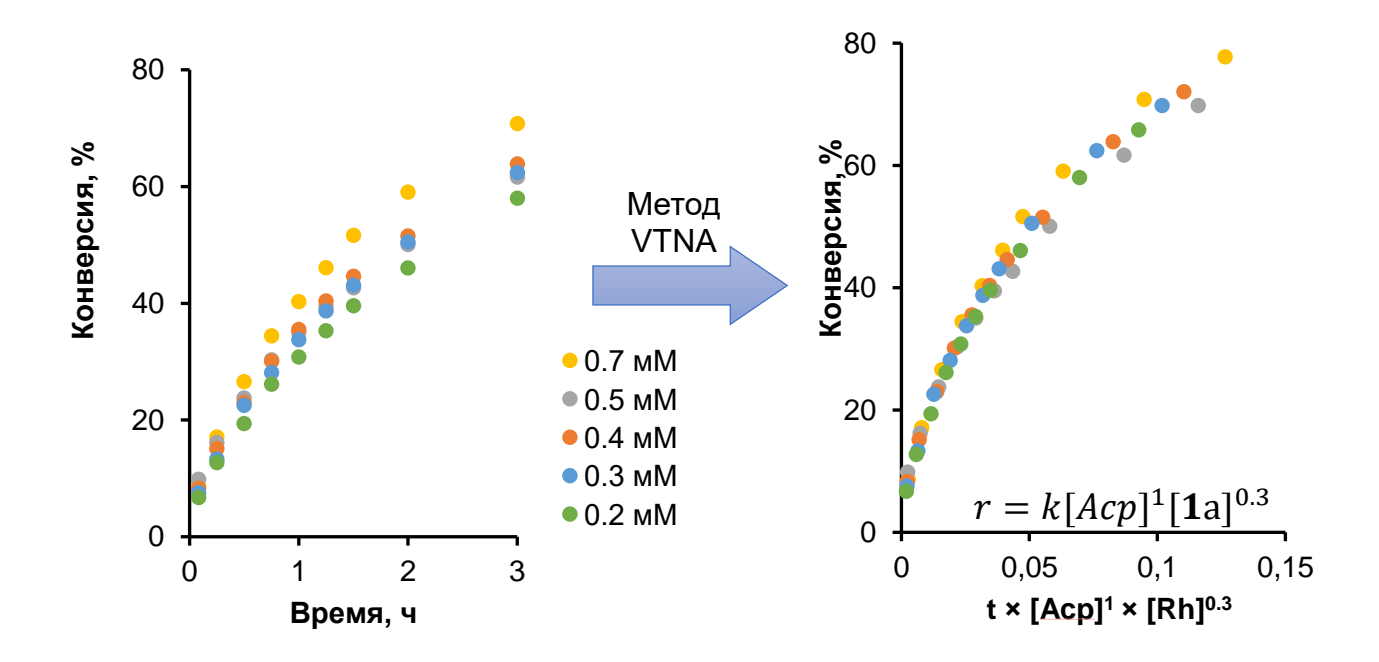


Рисунок 20. Кинетические кривые восстановления ацетофенона изопропанолом при 60°C, катализируемое **1а**, в зависимости от [Rh]. Условия: ацетофенон (117 мкл, 1 ммоль), изопропанол (5 мл), [Acp] = 0.195 М. (слева) и наложение модифицированных кинетических кривых при условии, что порядок по катализатору составляет 0.3 (справа)

Перебор субстратов показал, что циклогексанон является одним из самых активных субстратов. В этом случае порядок по катализатору равен 0.75, что свидетельствует о гораздо

меньшем вовлечении катализатора в побочные процессы (Рисунок 21). Поэтому кинетика гидрирования циклогексанона была изучена более подробно.

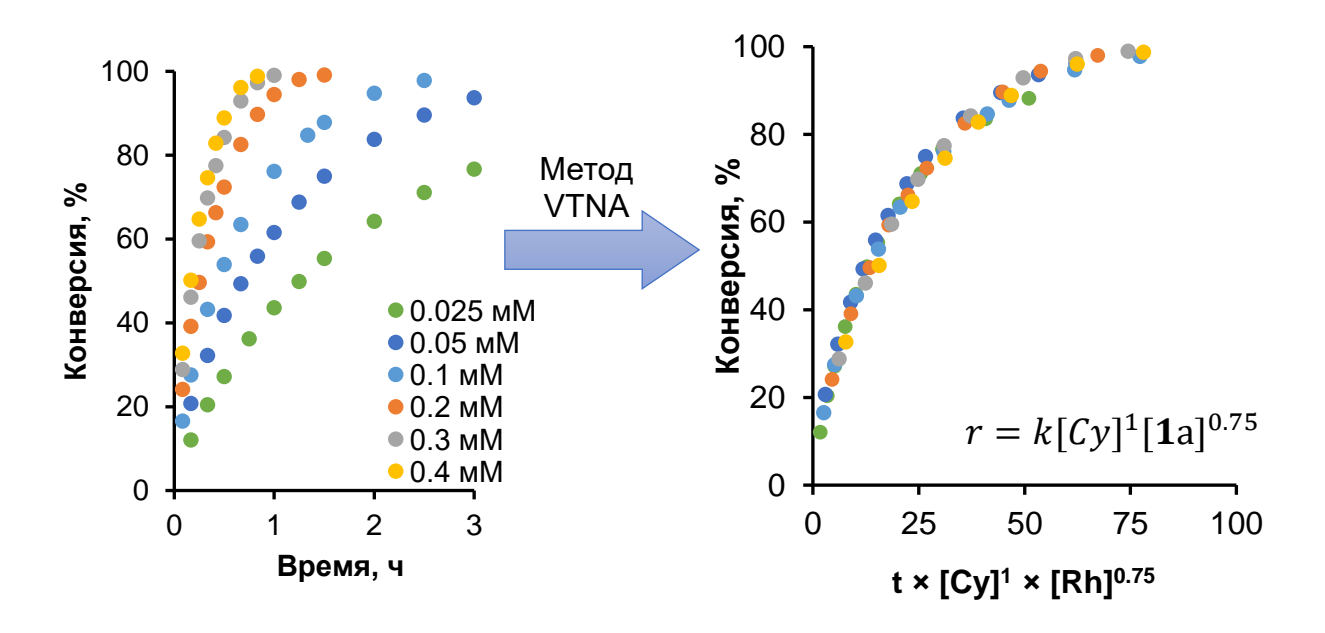


Рисунок 21. Кинетические кривые восстановления циклогексанона изопропанолом при 60°C, катализируемое **1a**, в зависимости от [Rh]. Условия: циклогексанон (103 мкл, 1 ммоль), изопропанол (5 мл), [циклогексанон] = 0.195 М (слева) и наложение модифицированных кинетических кривых при условии, что порядок по катализатору составляет 0.75 (справа).

Определение кинетического изотопного эффекта (KIE(CH/CD) = 2.6, KIE(OH/OD) = 1.0) в изопропанолах различной степени дейтерирования показало, что на лимитирующей стадии происходит гидридный перенос метинового водорода изопропанола (Рисунки 22, 23).

Рисунок 22. Схема восстановления циклогексанона изопропанолом различной степени дейтерирования (слева) и найденное с помощью KIE возможное переходное состояние (справа)

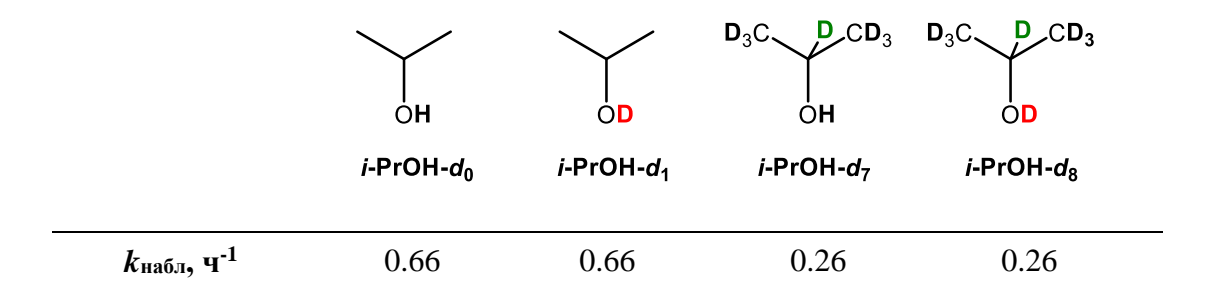


Рисунок 23. Использованные изопропанолы- d_x и значения констант скорости восстановления циклогексанона. Условия: [циклогексанон] = 0.190 M, [Rh] = 0.1 мM, соотношение изопропанол- d_x /бензол = 9/1.

Из температурной зависимости констант второго порядка были определены термодинамические параметры скорость-лимитирующей стадии процесса ($\Delta H^{\neq} = +19.6 \pm 0.5$ ккал/моль, $\Delta S^{\neq} = +3 \pm 1$ кал/моль) (Рисунок 24). Найденная околонулевая энтропия свидетельствует о незначительных структурных перестройках на лимитирующей стадии. Это предполагает координацию молекулы изопропанола до лимитирующей стадии.

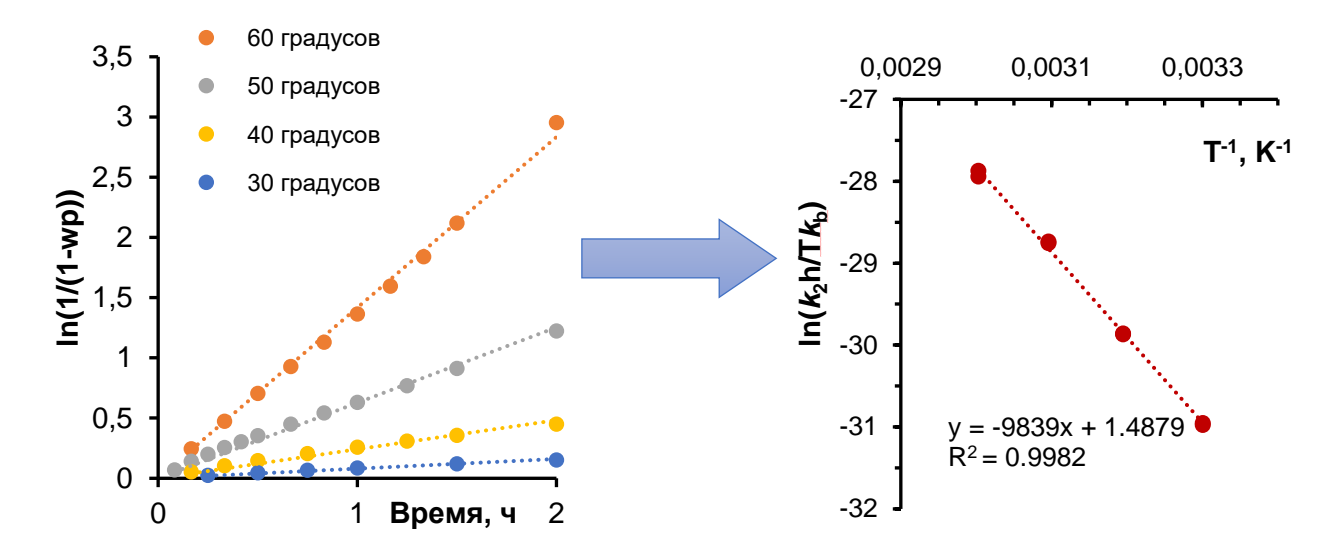


Рисунок 24. Кинетические кривые в координатах реакции первого порядка восстановления циклогексанона изопропанолом, катализируемое **1a**, в зависимости от температуры. Условия: циклогексанон (103 мкл, 1 ммоль), изопропанол (5 мл), [циклогексанон] = 0.195 M, [Rh] = 0.1 мМ (слева) и нахождение термодинамических параметров по уравнению Эйринга (справа). ω_p – мольная доля продукта.

Для лучшего понимания механизма процесса и роли хлоридного лиганда в активации катализатора были проведены модельные эксперименты по взаимодействию с 4 спиртами, различающимися по полярности и кислотности (Рисунок 25). В высокополярном метаноле хлоридный комплекс **1a** полностью диссоциирует в катионный комплекс **2a**, а в менее полярном и не содержащем β -H атома *трет*-бутаноле этот комплекс полностью стабилен и не реагирует. В то же время при взаимодействии с изопропанолом, содержащим β -H атом, или с более кислым спиртом PFTB в спектрах ЯМР и УФ наблюдаются трансформации катализатора, на которых мы остановимся подробнее.

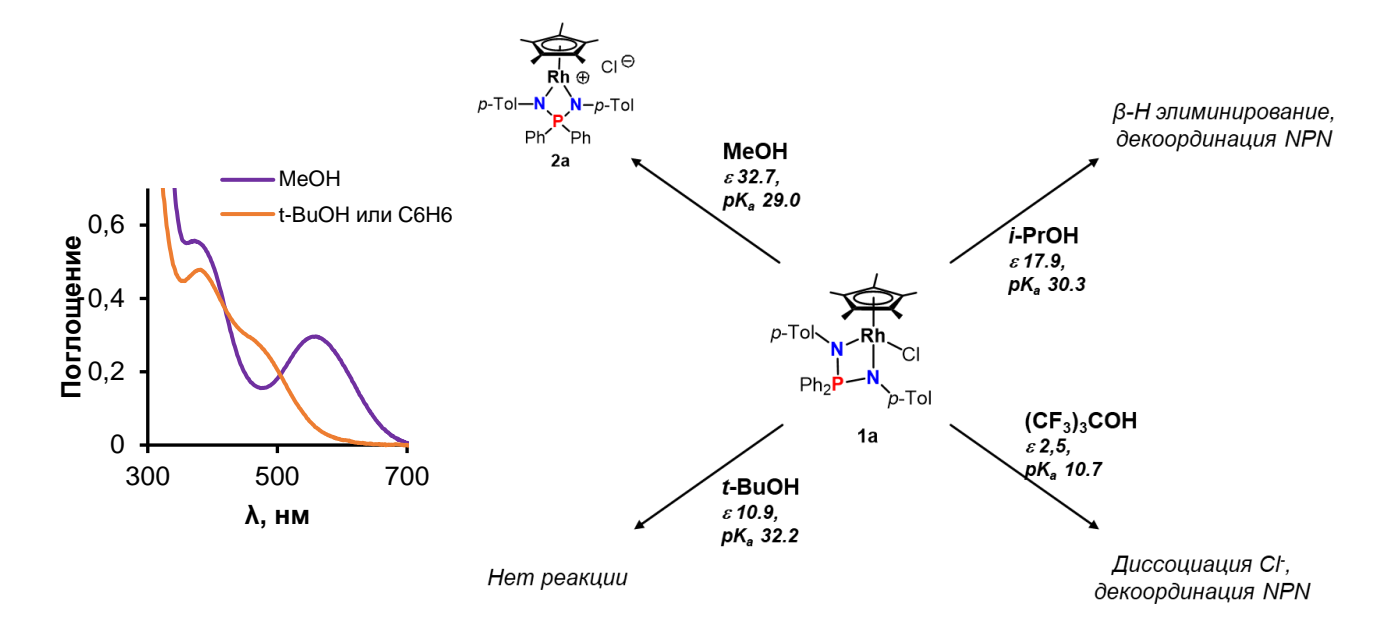


Рисунок 25. Схема взаимодействия хлоридного NPN-комплекса **1a** со спиртами, отличающимися по кислотности и полярности (справа) и УФ-видимый спектр комплекса **1a** в неполярных (бензол/*mpem*-бутанол) и полярных (метанол) растворителях (слева)

Следует отметить, что хлоридный лиганд является очень лабильным, и связь Rh–Cl способна диссоциировать даже в малополярном бензоле, что можно наблюдать по обмену положений протонов фенильных колец в спектрах обменной ЯМР-спектроскопии (EXSY ЯМР). Обмен положений сигналов фенильных групп происходит через катионный интермедиат $2a^+$. В присутствии спирта скорость этого обмена увеличивается за счет облегчения диссоциации хлорид-иона, образующего водородную связь со спиртом (Схема 13, Рисунок 26).

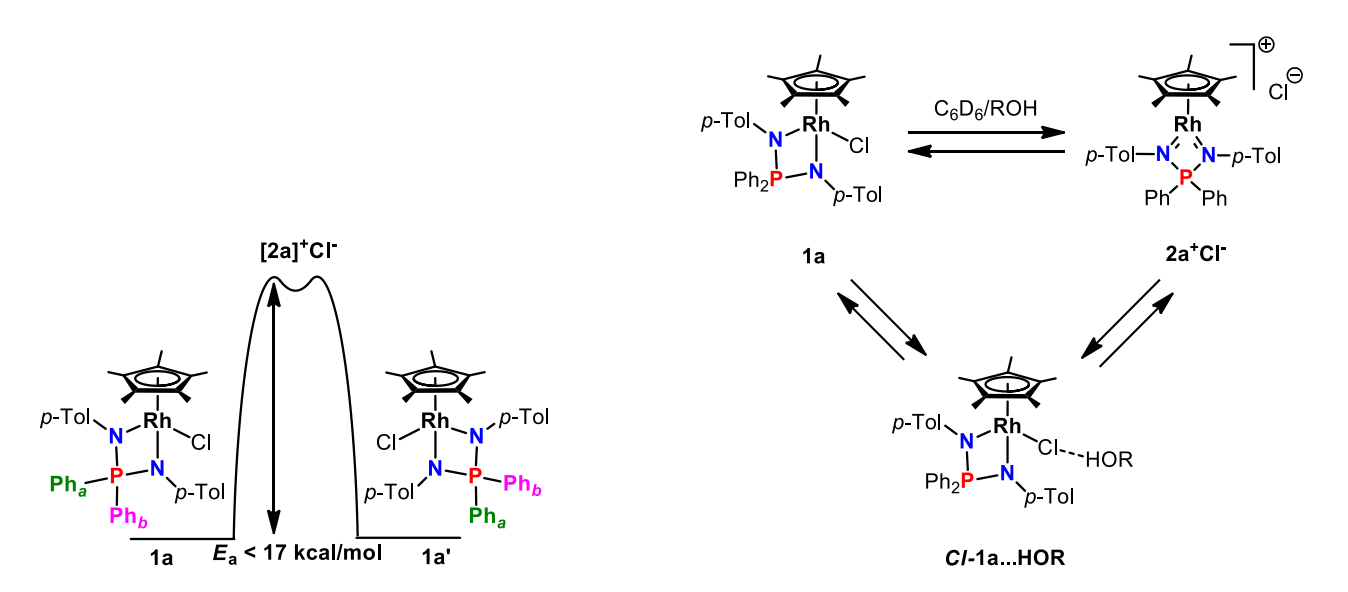


Схема 13. Энергетическая диаграмма диссоциации хлорид-иона от комплекса **3a** (слева) и возможные пути протекания этого процесса (справа)

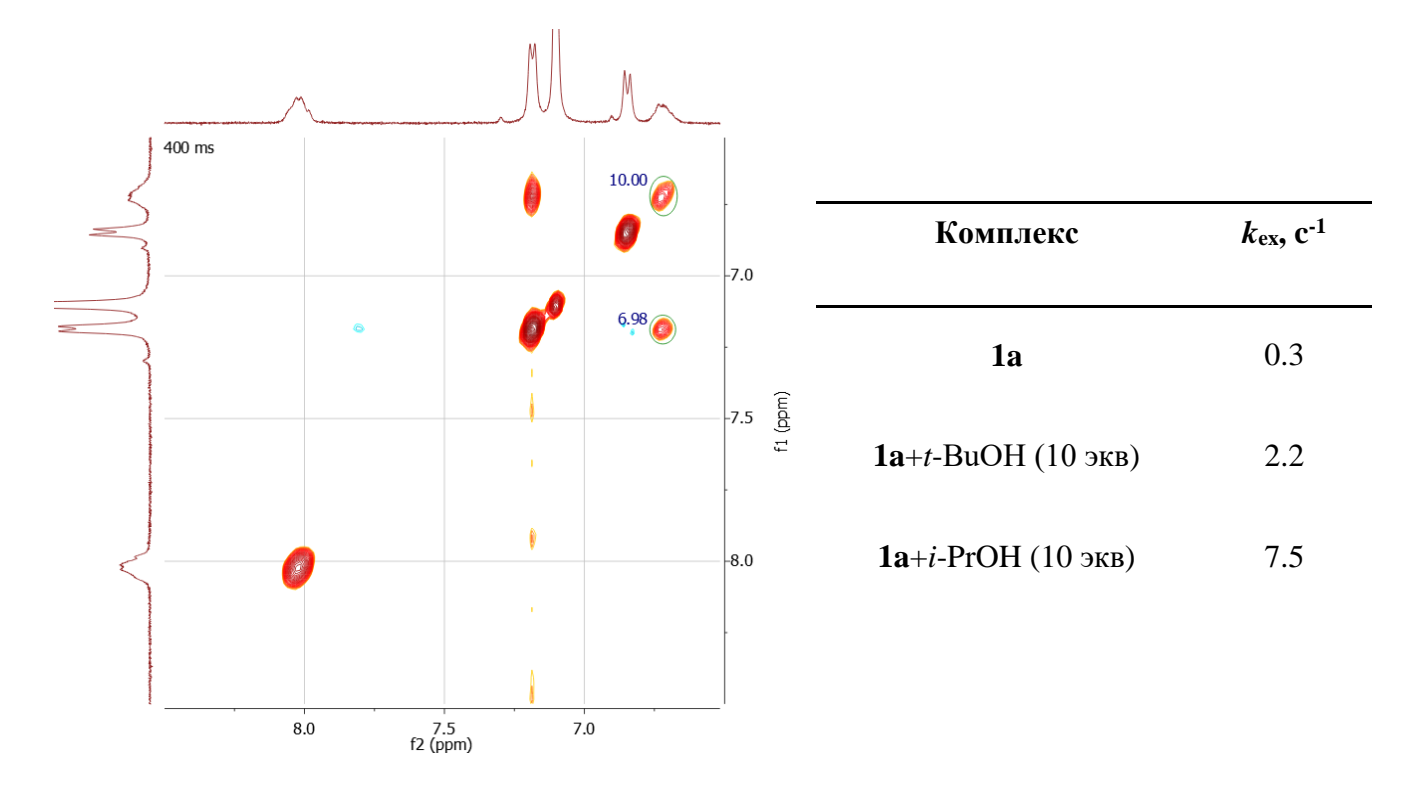


Рисунок 26. 2D EXSY 1 H- 1 H ЯМР комплекса **1a** (10 мМ, $C_{6}D_{6}$, 20° C) в присутствии 10 экв. *трет*-бутанола (5.5 мкл) при времени смешивания (t_{mix}) 400 мс (слева) и найденные константы скорости обмена (k_{ex}) в присутствии различных добавок (без добавки/*трет*-бутанол/изопропанол)

По данным ЯМР и УФ спектроскопии, при нагревании раствора хлоридного комплекса с изопропанолом в условиях, приближенным к каталитическим, наблюдается его постепенное разложение с потерей NPN-лиганда и образованием сначала димерного гидрид-хлоридного комплекса **8**, и далее димерного комплекса родия(II) **9** (Схема 14), которые были идентифицированы по данным ЯМР- и УФ-видимой спектроскопии (Рисунок 27).

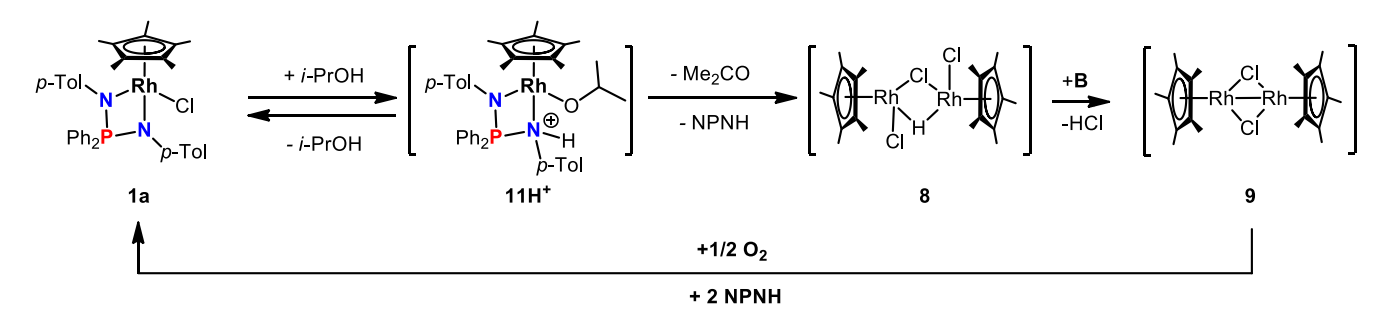


Схема 14. Схема разложения **3а** в C_6D_6/i -PrOH- d_8 при 60°C и в биядерные комплексы **8** и **9** через протонирование NPN-лиганда изопропанолом, протекающее через N-протонированный алкоксидный интермедиат **11аH** $^+$

Этот процесс обратим, и при пропускании кислорода исходный комплекс в значительной степени возвращается. Наиболее вероятно, что гидридный комплекс $\bf 8$ образуется в результате β - $\bf H$ элиминирования из протонированного изопропоксида $\bf 11H^+$ (Рисунок 27).

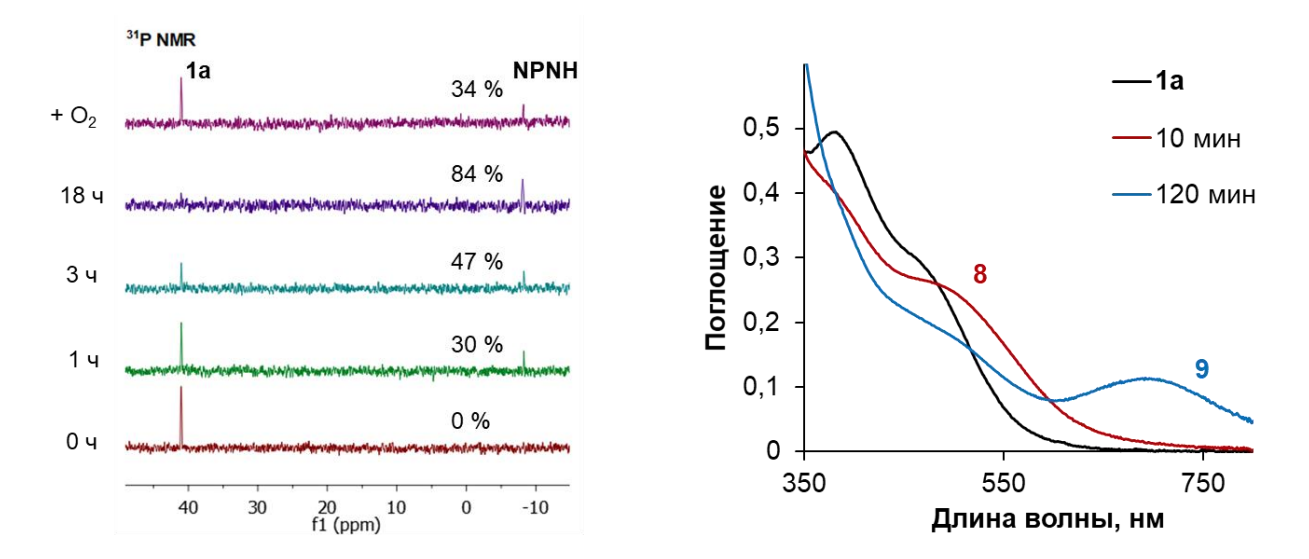


Рисунок 27. ³¹Р ЯМР (слева) и УФ-видимый (справа) мониторинг устойчивости **1а** в смеси бензол/изопропанол при 60° С. Условия: **ЯМР**: C_6D_6 (0.6 мл), i-PrOH- d_8 (10 мкл), [**1a**] = 0.7 мМ, [**1a**]:[i-PrOH- d_8] = 1:40; **УФ**: [**1a**] = 0.7 мМ в смеси изопропанол:бензол = 85:15

При взаимодействии с более кислым ПФТБ образуется катионный комплекс **2**, водородно связанный с спиртом иминофосфонамин **HNPN...HOR**^F и комплекс **10** (Схема 15).

3
$$p$$
-Tol N -Rh Cl +4 RFOH CD_2Cl_2 p -Tol N -Ph D -Ph

Схема 15. Взаимодействие хлоридного NPN-комплекса 1a с кислым спиртом PFTB

Взаимодействие PFTВ с комплексом **1a**, по-видимому, протекает двумя путями: через образование водородной связи с хлоридным лигандом или с атомом азота. В первом случае это промотирует диссоциацию хлорид-иона и образование катионного комплекса. Тогда как связывание с атомом азота приводит к декоординации NPN-лиганда с образованием димерных хлорид-алкоксидных комплексов. Таким образом, и атом хлора и атомы азоты могут являться центрами образования водородной связи с молекулой спирта (Схема 16).

Схема 16. Возможные реакции 1а со спиртами по результатам модельных ЯМР- и УФ-экспериментов.

Квантово-химические расчеты это подтверждают. Образование водородной связи с атомом хлора оказывается более предпочтительным. При эффективной сольватации хлоридиона молекулами спирта образование сольватного комплекса [2a(ROH)]⁺ является сравнительно низкоэнергетическим процессом и значительно более выгодным, чем прямое координирование молекулы спирта к «16ē» катионному комплексу. Таким образом, роль хлоридного лиганда в катализе заключается в облегчении координации молекулы изопропанола к атому родия (Схема 17).

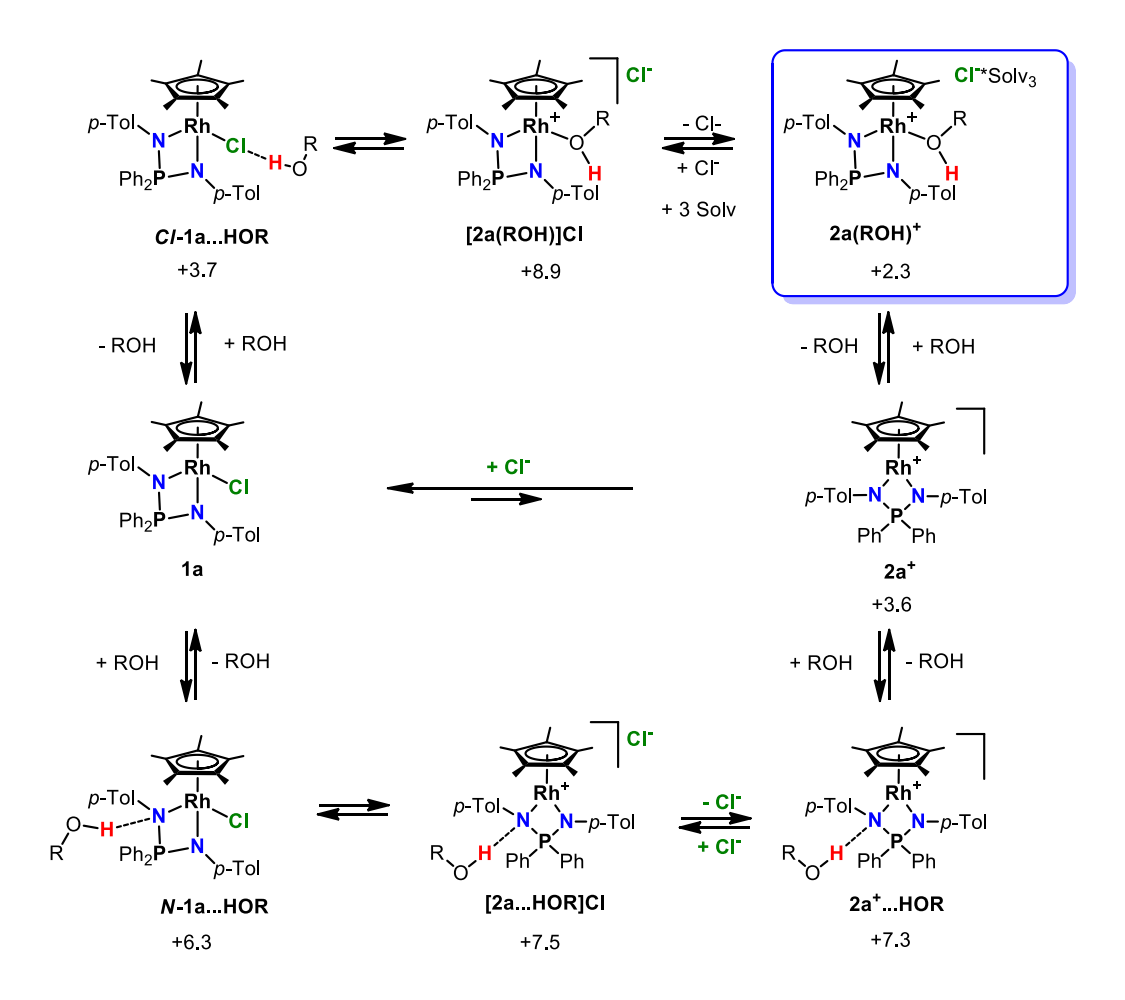


Схема 17. Возможные пути взаимодействия **1a** со спиртами, приводящие к диссоциации хлорид-иона. Энергии $(\Delta G^{\circ}_{298}, \, \text{ккал/моль})$ указаны относительно разделенного **3a** и ROH = *i*-PrOH

На основании кинетических, модельных экспериментов и квантово-химических расчетов был предложен необычный механизм гидрирования кетонов с содействием хлорид-иона, который отличается от механизма с содействием азотного лиганда при катализе комплексами Нойори-Икария. В предложенном механизме гидридный перенос происходит внутрисферно в протонированном алкоксидном интермедиате 11аH+, образующемся из сольватного комплекса [2a(ROH)]+ в результате протонного переноса на атом азота. В итоге получается высокоэнергетический протонированный гидридный комплекс 12аH+, который далее активно гидрирует карбонильный субстрат. На последней стадии цикла происходит декоординация продукта, связанного с катализатором водородной связью, и возвращение катионного комплекса в каталитический цикл под действием хлорид-иона (Схема 18).

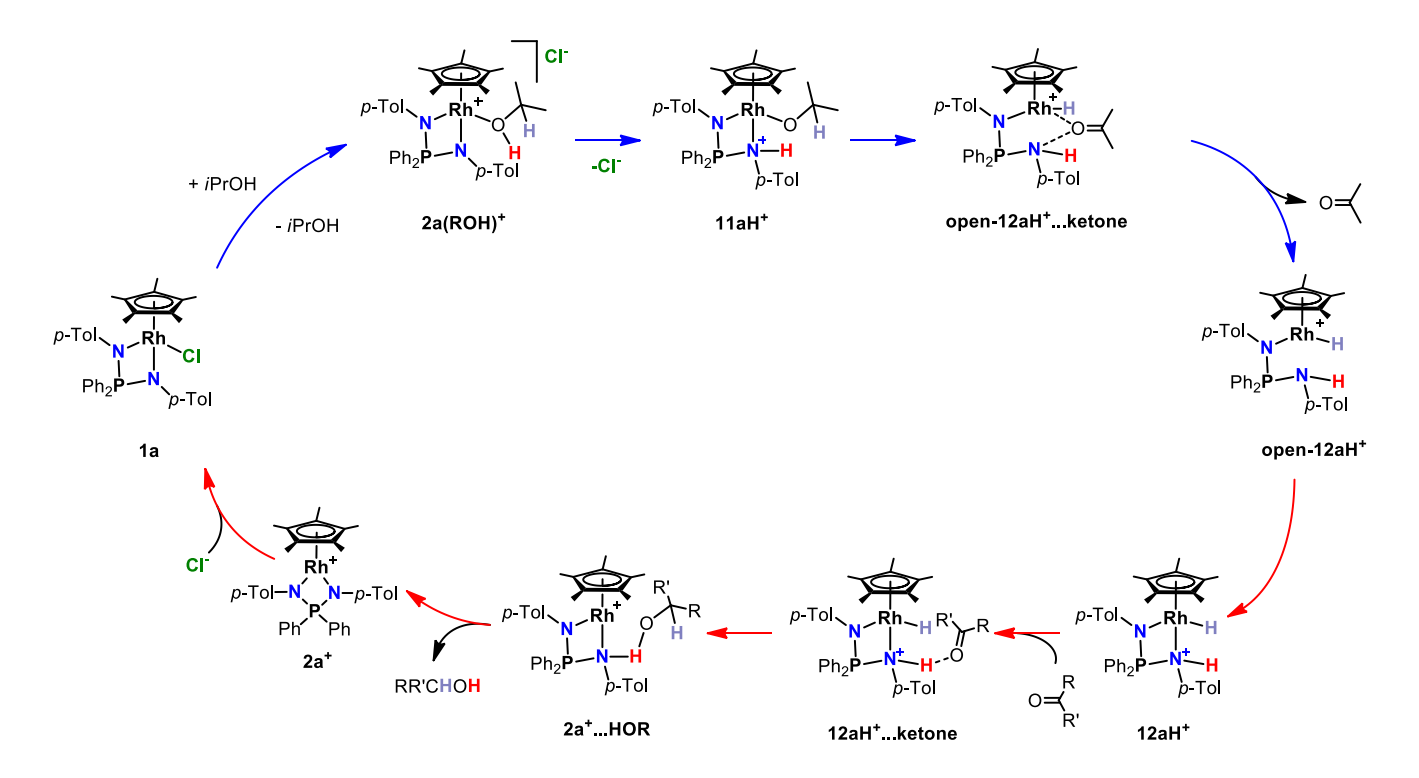


Схема 18. Предполагаемый каталитический цикл при использовании **1a** для ТН-гидрирования кетонов (синие стрелки – дегидрирование изопропанола, красные стрелки – гидрирование субстрата)

Изученные активности различных субстратов (Рисунок 28) хорошо согласуются с предложенным механизмом. Ожидаемо, в *пара*-замещенных арильных субстратах донорная группа снижает активность катализатора. Однако, в отличие от катализаторов Нойори-Икария, активность *орто*-замещенных ацетофенонов значительно выше. Такой необычный эффект мы связываем с более легкой декоординацией получающегося бензильного спирта и высвобождением молекулы катализатора на финальной стадии цикла за счет стерической нагруженности спирта либо его способности образовывать внутримолекулярную водородную связь. Эта особенность подчеркивает важность учета эффекта водородных связей в каталитическом ТН гидрировании комплексами с NPN-лигандом (Рисунок 28, Схема 19).

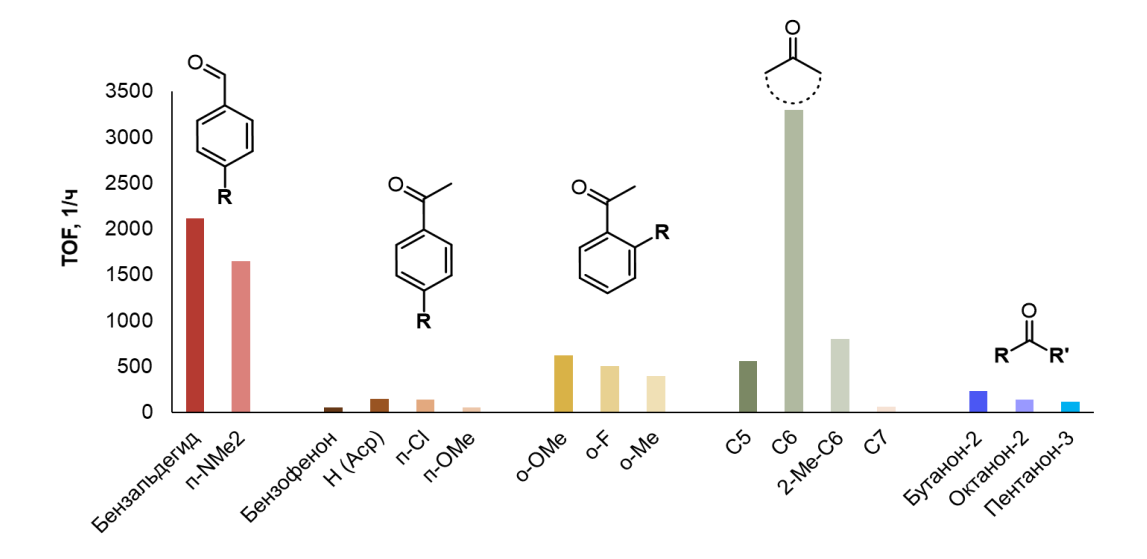


Рисунок 28. Диаграмма активности каталитической системы на основе **1a** ТН-гидрирования различных карбонильных соединений

 ${f Cxema~19.}$ Высвобождение продукта восстановления из-за образования внутримолекулярной водородной связи в opmo-замещенных ацетофенонах

NPN-комплексы родия были изучены в качестве катализаторов дегидрирования аминборанов. Это каталитический процесс с перспективой применения для создания удобных хранилищ водорода. Принципиальная возможность катализа комплексами родия с κ^2 -N,Nлигандами этого процесса была подтверждена ранее для бипиридильных комплексов[19], хотя скорость дегидрирования оказалась довольно низкой (Рисунок 29).

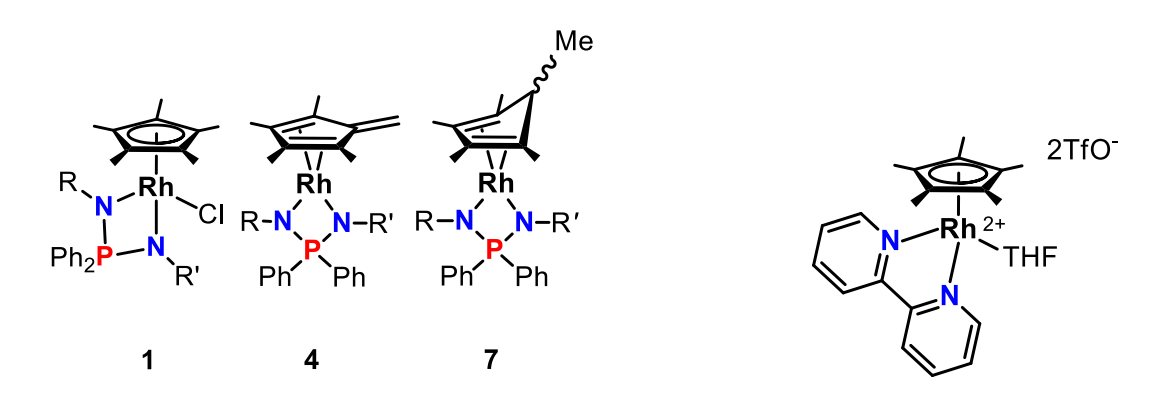


Рисунок 29. Использованные предкатализаторы на основе NPN-лиганда (слева) и бипиридильного лиганда (справа) дегидрирования амин-боранов

Полученные хлоридные **1**, фульвеновые **4** и циклопентадиеновые **7** комплексы были изучены в каталитическом дегидрировании модельного диметиламин-борана (Схема 20). Только циклопентадиеновые комплексы позволяют добиться полной конверсии амин-борана, они же являются и самыми активными катализаторами среди рассмотренных комплексов (Рисунок 30). Донорный метильный заместитель оказывает сильное влияние, повышая начальную скорость реакции почти на порядок.

Схема 20. Общая схема дегидрирования амин-боранов, катализируемого комплексами родия 1, 4, 7

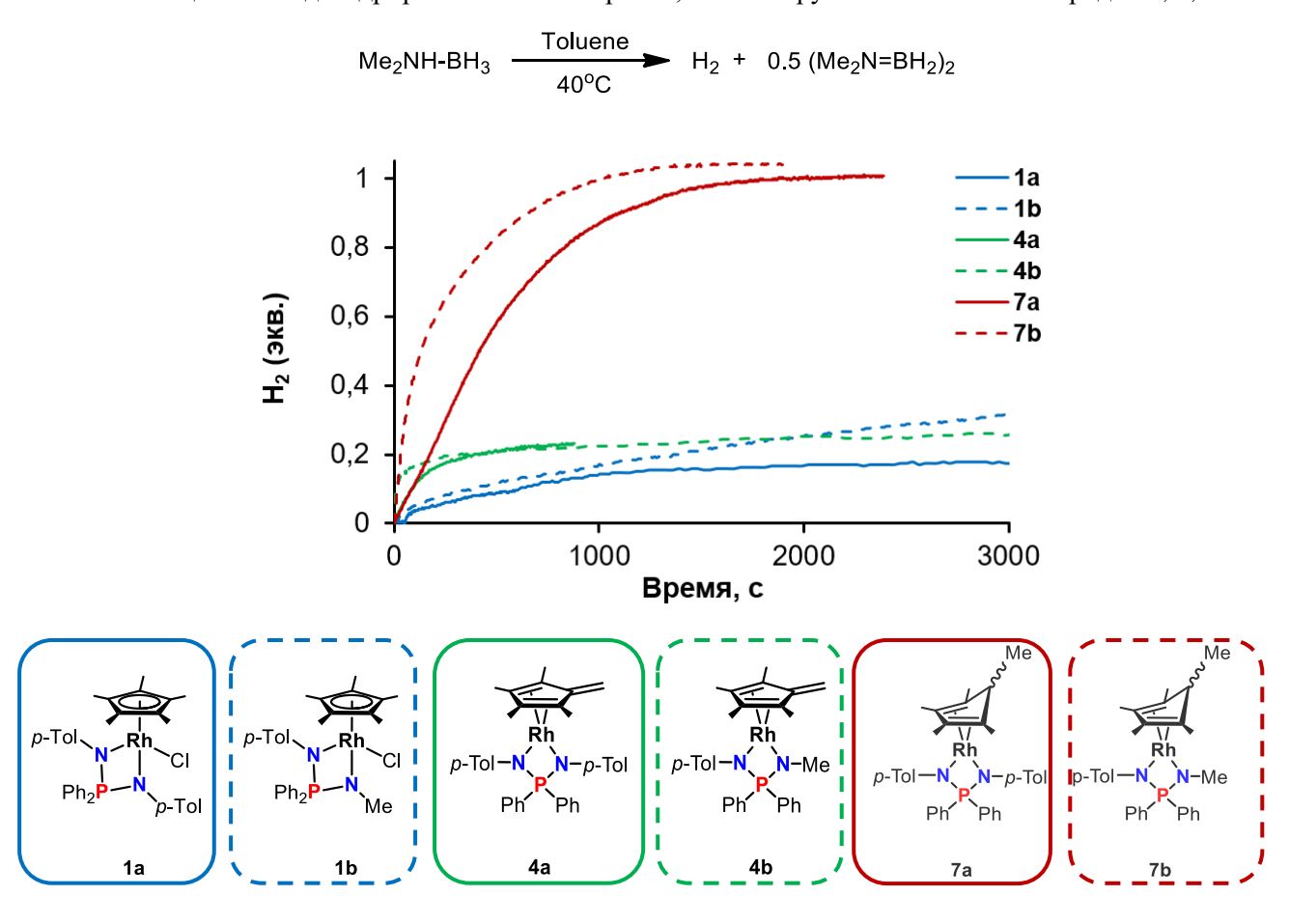


Рисунок 30. Сравнение кинетических кривых дегидрирования ДМАБ, катализируемого комплексами **1a,b**, **4a,b**, **7a,b** в толуоле. Условия: T = 40°C, [Rh] = 2.9 мМ, [ДМАБ] = 0.145 М, $V_{p-pa} = 2.1$ мл.

Изучение кинетики дегидрирования наиболее активным комплексом **7b**, позволило установить, что реакция имеет первые порядки и по субстрату, и по катализатору (Рисунок 31).

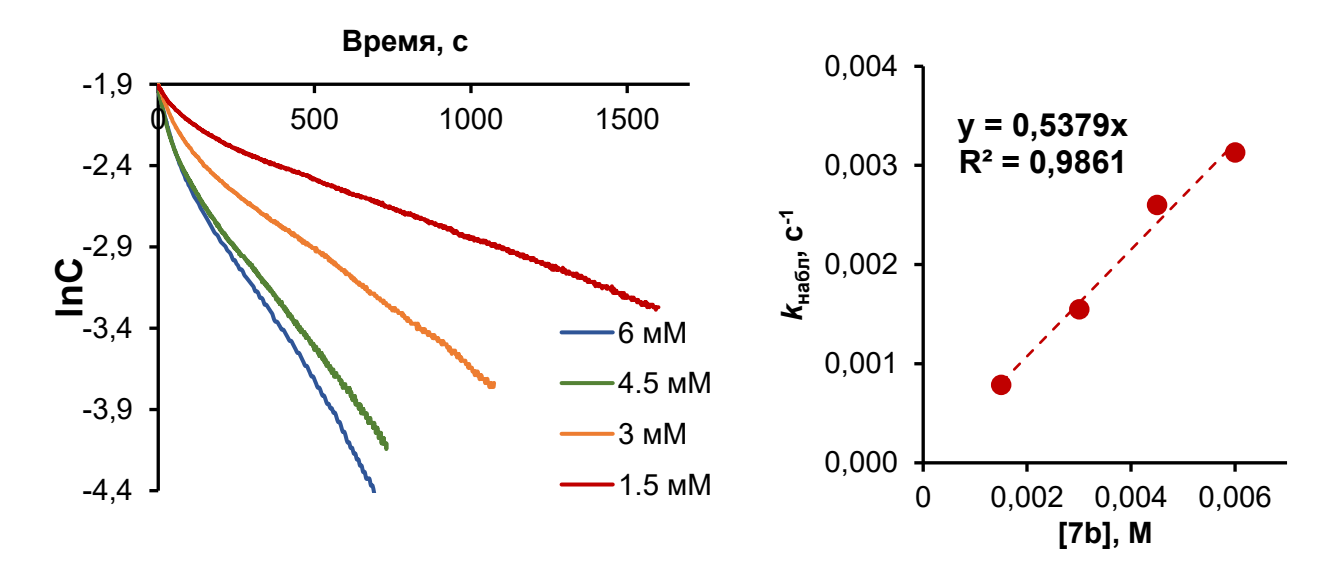
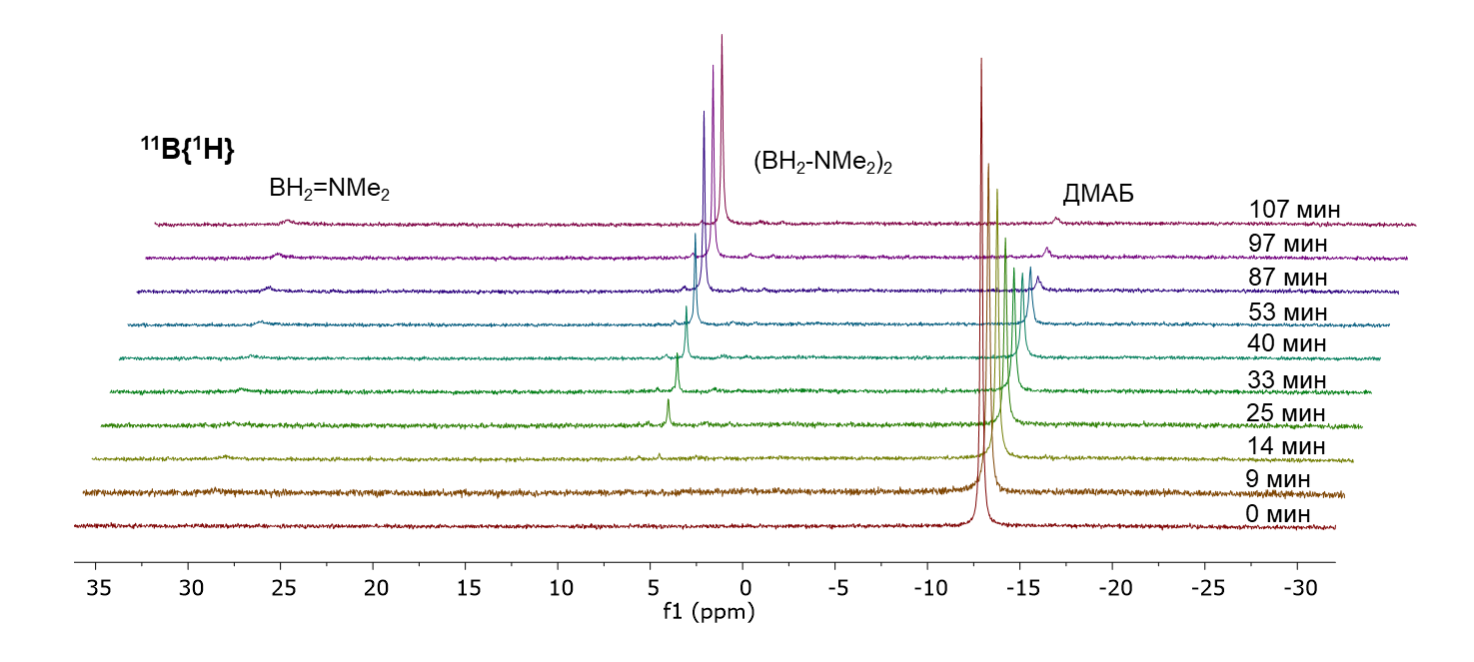


Рисунок 31. Дегидрирование ДМАБ (0.145 M), катализируемое комплексом **7b** при 40°C в толуоле, в зависимости от концентрации катализатора: кинетические кривые первого порядка (слева) и зависимость $k_{\text{набл}}$ от [Rh] (справа)

Мониторинг дегидрирования ДМАБ комплексом **7a** методом ЯМР на ядрах ¹¹В показал, что помимо сигналов исходного ДМАБ и димерного продукта дегидрирования в реакционной смеси всегда присутствует мономерный диметиламиноборан в низкой концентрации (Рисунок 32). Это свидетельствует о его димеризации вне координационной сферы родия. Нужно отметить, что комплекс **7a** инертен к Me₃N-BH₃, то есть наличие кислого аминного атома водорода в субстрате является обязательным условием для катализа.



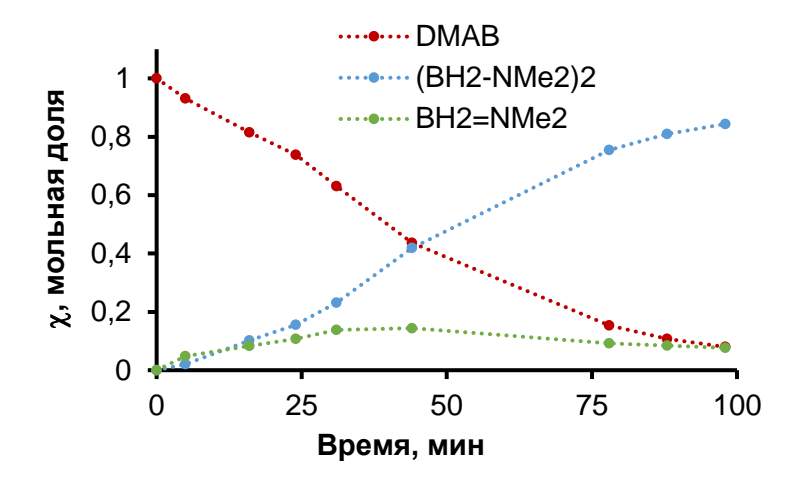


Рисунок 32. Кинетика дегидрирования ДМАБ (0.085M, $\delta_B = -13$ м.д.), катализируемого комплексом **7a** (0.008 M) при 18°C в толуоле- d_8 . Изменения спектра ЯМР ¹¹В реакционной смеси (сверху) и изменения относительных концентраций боросодержащих продуктов реакции (снизу)

Таким образом, на основании модельных, кинетических экспериментов и литературных данных, был предложен механизм дегидрирования с участием Ср*-лиганда, сходный с описанным в литературе (Схема 21) [19]. В нем NH-протон ДМАБ переносится нуклеофильному атому родия(I), восстанавливается ароматичность Ср-кольца, и выделяется водород. Неустойчивый гидридный интермедиат быстро изомеризуется обратно в η^4 - циклопентадиеновый комплекс родия(I), и цикл повторяется. Катализаторы 7а и 7b являются сопоставимыми по активности (ТОF 110 ч⁻¹ для 7a и 540 ч⁻¹ для 7b) с наиболее активными из известных родиевых катализаторов в этой реакции [19–21] (Рисунок 33).

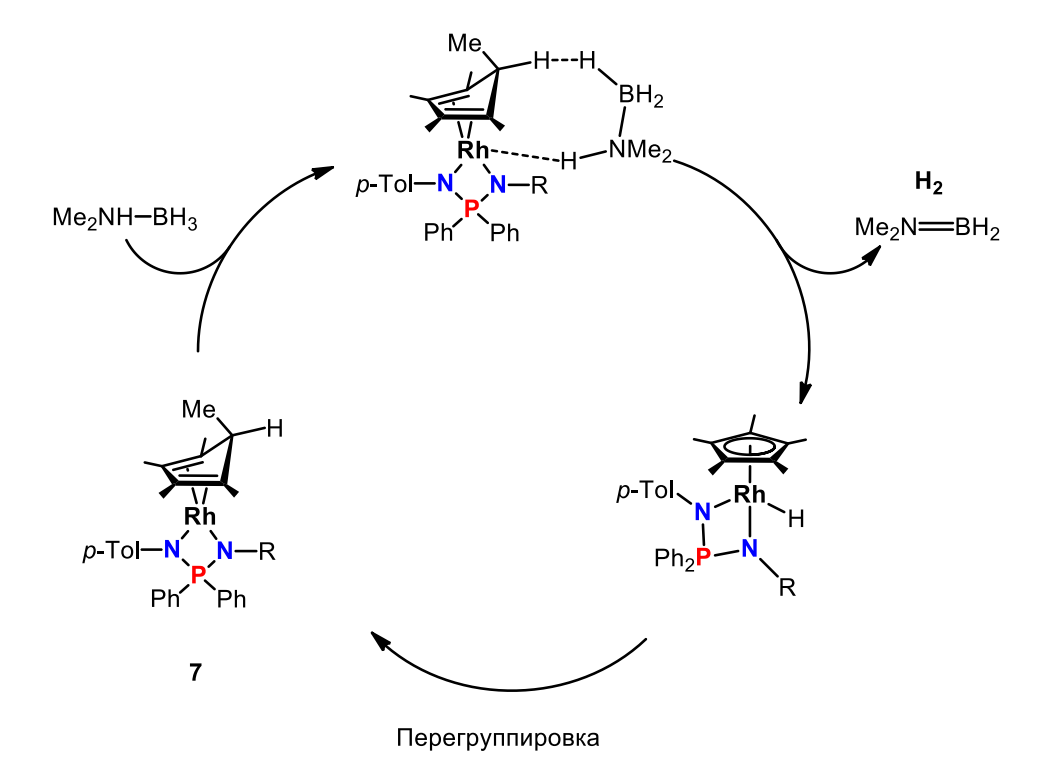


Схема 21. Предполагаемый механизм дегидрирования диметиламин-борана, катализируемого комплексами 7а,b.

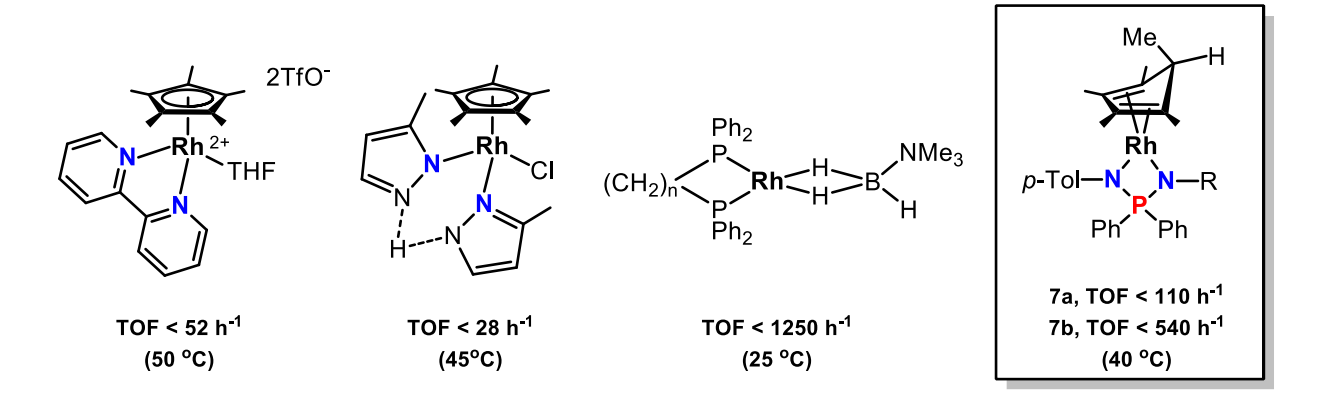


Рисунок 33. Сравнение активности **7а,b** с другими полусэндвичевыми комплексами родия в реакции дегидрирования амин-боранов.

Выводы:

- 1) Разработан удобный метод синтеза полусэндвичевых NPN-комплексов родия и изучены побочные процессы при их синтезе, подавление которых позволяет повысить выходы продукта.
- 2) Цвиттер-ионная природа NPN-лиганда приводит к повышенной стабильности 16 е комплексов. Катионные 16 е комплексы обратимо взаимодействуют с внешними лигандами, поскольку такие реакции слабо экзотермичны. Комплексы с пиридином или терминальным СО устойчивы только при пониженной температуре. Однако, 18 е комплексы, наоборот, проявляют повышенную реакционную способность за счет высокой нуклеофильности атомов азота. В частности, это приводит к легкому внедрению координированного СО лиганда по связи Rh—N с образованием карбамоильных комплексов. Полученные NPN-комплексы родия одни из немногих примеров, в которых внедрение СО по Rh—N обратимо.
- 3) Впервые получены и охарактеризованы спектрально η^4 -тетраметилфульвеновые NPN-комплексы родия(I) редкий пример изученных фульвеновых комплексов родия. Также впервые продемонстрировано, что они легко вступают в реакцию *межмолекулярного* 1,4- и 1,2-металлоциклоприсоединения с диеном и α , β -ненасыщенным кетоном. Эта новая реакция является удобным методом сложной функционализации Cp^* -лиганда.
- 4) Показано, что 18 NPN-комплексы родия являются активными катализаторами ТН-гидрирования целого спектра карбонильных соединений (изучено 16 субстратов). На основании полученных кинетических данных, проведенных модельных экспериментов и квантово-химических расчетов предложен новый необычный механизм ТН-гидрирования с содействием хлорид-иона, который позволяет объяснить ускоряющий на порядок эффект хлоридного лиганда, а также *орто-*заместителей в арильных субстратах при катализе NPN-комплексами родия.
- 5) Показано, что η^4 -пентаметилциклопентадиеновые комплексы являются эффективными катализаторами дегидрирования ДМАБ, находящимися на уровне наиболее активных среди известных комплексов родия. Кинетические данные и модельные эксперименты позволяют предположить протонный перенос от атома азота амин-борана на атом родия и последующий перенос гидрида от атома родия на Cp^* -лиганд в качестве ключевых стадий каталитического цикла.

Список литературы:

- 1. Murata K., Ikariya T., Noyori R. New Chiral Rhodium and Iridium Complexes with Chiral Diamine Ligands for Asymmetric Transfer Hydrogenation of Aromatic Ketones // J. Org. Chem. American Chemical Society, 1999. Vol. 64, № 7. P. 2186–2187.
- 2. Carmona M., Ferrer J., Rodríguez R., Passarelli V., Lahoz F.J., García-Orduña P., Cañadillas-Delgado L., Carmona D. Reversible Activation of Water by an Air- and Moisture-Stable Frustrated Rhodium Nitrogen Lewis Pair // Chem. − A Eur. J. 2019. Vol. 25, № 60. P. 13665–13670.
- 3. Piraino P., Bruno G., Tresoldi G., Faraone G., Bombieri G. Reactivity of the rhodium(III) formamidinato-complex $[Rh(\eta^5-C_5Me_5)Cl(p-MeC_6H_4N-CH=NC_6H_4Me-p)]$ with CO and heterocumulenes. Crystal and molecular structure of the // J. Chem. Soc., Dalt. Trans. 1983. No 11. P. 2391–2395.
- 4. Kumar R., Kishan R., Thomas J.M., Chinnappan S., Thirupathi N. Probing the factors that influence the conformation of a guanidinato ligand in $[(\eta^5-C_5Me_5)M(NN)X]$ (NN = chelating N,N,N-tri(o-substituted aryl)guanidinate(1-); X = chloro, azido and triazolato) // New J. Chem. 2018. Vol. 42. P. 1853.
- 5. Ferrer C., Ferrer J., Passarelli V., Lahoz F.J., García-Orduña P., Carmona D. Well-Stabilized but Strained Frustrated Lewis Pairs Based on Rh/N and Ir/N Couples // Organometallics. 2022. Vol. 41, № 11. P. 1445–1453.
- 6. Bailey P.J., Mitchell L.A., Parsons S. Guanidine anions as chelating ligands; syntheses and crystal structures of $[Rh(\eta^5-C_5Me_5)\{\eta^2-(NPh)_2CNHPh\}Cl]$ and $[Ru(\eta^6-MeC_6H_4{}^iPr-p)-\{\eta^2-(NPh)_2CNHPh\}Cl]$ // J. Chem. Soc. Dalt. Trans. The Royal Society of Chemistry, 1996. No 13. P. 2839–2841.
- 7. Mansour A.M., Radacki K. Experimental and DFT studies of sulfadiazine 'piano-stool' Ru(II) and Rh(III) complexes // RSC Adv. 2020. Vol. 10, № 18. P. 10673–10680.
- 8. Zamorano A., Rendón N., Valpuesta J.E. V., Álvarez E., Carmona E. Synthesis and Reactivity toward H₂ of $(\eta^5\text{-}C_5\text{Me}_5)\text{Rh}(\text{III})$ Complexes with Bulky Aminopyridinate Ligands // Inorg. Chem. American Chemical Society, 2015. Vol. 54, No. 13. P. 6573–6581.
- 9. Peganova T.A., Valyaeva A. V., Kalsin A.M., Petrovskii P. V., Borissova A.O., Lyssenko K.A., Ustynyuk N.A. Synthesis of aminoiminophosphoranate complexes of palladium and platinum and X-ray diffractional investigation of the weak C-H ··· Pd interactions affecting the geometry of

- the PdNPN metallacycles // Organometallics. American Chemical Society, 2009. Vol. 28, № 10. P. 3021–3028.
- 10. Peganova T.A., Filippov O.A., Belkova N. V., Fedyanin I. V., Kalsin A.M. The Origin of the MNXN Metallacycle Flexibility in the Chelate Iminophosphonamide and Amidinate Transition Metal Complexes // Eur. J. Inorg. Chem. Wiley-VCH Verlag, 2018. Vol. 2018, № 47. P. 5098–5107.
- 11. Peganova T.A., Sinopalnikova I.S., Peregudov A.S., Fedyanin I. V., Demonceau A., Ustynyuk N.A., Kalsin A.M. The half-sandwich 18- and 16-electron arene ruthenium iminophosphonamide complexes // Dalt. Trans. Royal Society of Chemistry, 2016. Vol. 45, № 42. P. 17030–17041.
- 12. Gusev O. V, Sergeev S., Saez I.M., Maitlis P.M. Ring-Methyl Activation in Pentamethylcyclopentadienyl Complexes. 3. Synthesis and Reactions of (η^4 -Tetramethylfulvene) (η^5 -cyclopentadienyl)rhodium and -iridium // Organometallics. American Chemical Society, 1994. Vol. 13, No 5. P. 2059–2065.
- 13. Hoard D.W., Sharp P.R. Chemistry of $[Cp*Rh(\mu-Cl)]2$ and its dioxygen and nitrosobenzene insertion products // Inorg. Chem. American Chemical Society, 1993. Vol. 32, No. 5. P. 612–620.
- 14. Kang J.W., Maitlis P.M. (Pentamethylcyclopentadienyl)rhodium and -iridium complexes. V. Complexes with oxy-ligands and the exchange of methyl protons by deuterium under basic conditions // J. Organomet. Chem. 1971. Vol. 30, № 1. P. 127–133.
- 15. Barthel-Rosa L.P., Catalano V.J., Maitra K., Nelson J.H. Base-Promoted Hydroalkylation Reactions of the η^5 -C₅Me₅ Ligand Coordinated to Rhodium: Probing a Mechanism. New Compounds with the η^5 -C₅Me₄CF₃ Ligand // Organometallics. 1996. Vol. 15, No. 19. P. 3924–3934.
- 16. Lee B.Y.T., Phillips A.D., Hanif M., Tong K.K.H., Söhnel T., Hartinger C.G. Heptadentate, Octadentate, Or Even Nonadentate? Denticity in the Unexpected Formation of an All-Carbon Donor-Atom Ligand in Rh III (Cp*)(Anthracenyl-NHC) Complexes // Inorg. Chem. 2021. Vol. 60, № 12. P. 8734–8741.
- 17. Boutadla Y., Davies D.L., Jones R.C., Singh K. The Scope of Ambiphilic Acetate-Assisted Cyclometallation with Half-Sandwich Complexes of Iridium, Rhodium and Ruthenium // Chem. A Eur. J. John Wiley & Sons, Ltd, 2011. Vol. 17, № 12. P. 3438–3448.

- 18. Pal S. Cp* non-innocence and the implications of $(\eta^4\text{-}\text{Cp*H})\text{Rh}$ intermediates in the hydrogenation of CO_2 , NAD^+ , amino-borane, and the Cp* framework a computational study // Dalt. Trans. 2023. Vol. 52, No. 5. P. 1182–1187.
- 19. Pal S., Kusumoto S., Nozaki K. Dehydrogenation of Dimethylamine–Borane Catalyzed by Half-Sandwich Ir and Rh Complexes: Mechanism and the Role of Cp* Noninnocence // Organometallics. American Chemical Society, 2018. Vol. 37, № 6. P. 906–914.
- 20. Pal S., Iwasaki T., Nozaki K. Metal–ligand cooperative κ^1 -N-pyrazolate Cp*Rh(III)-catalysts for dehydrogenation of dimethylamine-borane at room temperature // Dalt. Trans. The Royal Society of Chemistry, 2021. Vol. 50, N 23. P. 7938–7943.
- 21. Dallanegra R., Robertson A.P.M., Chaplin A.B., Manners I., Weller A.S. Tuning the $[L_2Rh\cdots H_3B\cdot NR_3]^+$ interaction using phosphine bite angle. Demonstration by the catalytic formation of polyaminoboranes // Chem. Commun. The Royal Society of Chemistry, 2011. Vol. 47, No 13. P. 3763–3765.